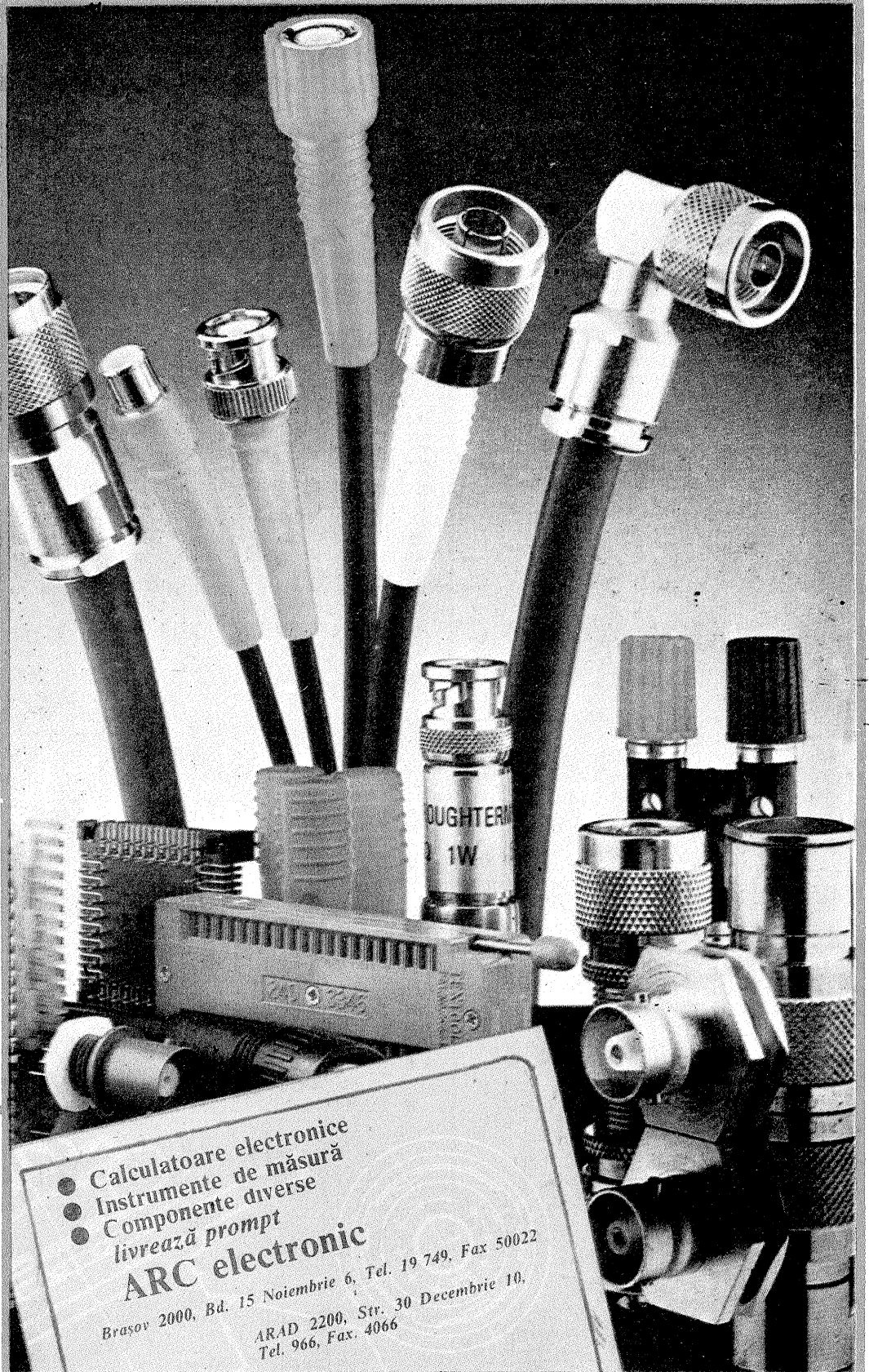


TEHNIUM

ANUL XXII — NR. 257 4/1992

SUMAR

TEHNICĂ MODERNĂ	pag. 2—3
Proiectare asistată de calculator	
INIȚIERE ÎN RADIOELECTRONICĂ	pag. 4—5
Experiment Indicator Fototranzistor Util	
CQ-YO	pag. 6—7
QTC de YO Aplicațiile grid-dip-metrului	
HI-FI	pag. 8—9
Preamplificatoare pentru microfoane de calitate „DOLBY B” în regim „DNL” Protecție electronică	
LABORATOR	pag. 10—11
Frecvențmetru Amplificator pentru frecvențmetru	
SERVICE	pag. 12—13
ELTRA CS202	
AUTOMATIZĂRI	pag. 14—15
Transmișiuni în infraroșu Măsurarea timpului de expunere Stabilizator	
ATELIER	pag. 16—17
Triploare de tensiune pentru TV color Detector de radiații	
CITITORII RECOMANDĂ	pag. 18—19
Protecție la supratemperatură Protecția radioreceptoarelor și radiocasetofoanelor auto Divertisment cu... 4011	
LA CEREREA CITITORILOR	pag. 20—21
Salvarea programelor pentru calculatoare	
REVISTA REVISTELOR	pag. 22
Convertor UUS Amplificator de putere	
MAGAZIN TEHNIUM	pag. 23
Complet de recepție TV	
PUBLICITATE	pag. 24



REVISTĂ LUNARĂ PENTRU CONSTRUCTORII AMATORI

ADRESA REDACȚIEI: „TEHNIUM”,
BUCHUREȘTI, PIAȚA PRESEI LIBERE NR. 1,
COD 79784, OF. P.T.T.R. 33,
SECTORUL 1, TELEFON: 18 35 66—17 60 10/2059

PREȚUL 50 LEI

● Calculatoare electronice
● Instrumente de măsură
● Componente diverse
livrează prompt
ARC electronic

Brasov 2000, Bd. 15 Noiembrie 6, Tel. 19 749, Fax 50022
ARAD 2200, Str. 30 Decembrie 10,
Tel. 966, Fax. 4066

PROIECTARE ASISTATĂ DE CALCULATOR

Dr. ing. ȘERBAN RADU IONESCU

(URMARE DIN NR. TRECUT)

Circuitul prezintă interes nu numai ca divizor de putere, ci și ca circuit de însumare a semnalelor provenite de la două generatoare independente. De data aceasta, la poarta cu terminalele 1 și 4 se conectează sarcina unică, iar cele două generatoare se conectează la porțile cu terminalele 5 și 4, respectiv 6 și 4. În figura 5.11-b se face apel din nou la simetria structurii și unul dintre generatoare este înlocuit cu rezistorul R_2 .

Pentru analiză circuitul este același cu cel din figura 5.11-a, numai că porțile de intrare și ieșire sînt interschimbate. Lista exemplu 5.3 ne arată că atenuarea suferită de semnalul fiecărui generator are aceeași valoare ca în cazul anterior, cînd era însă vorba de un divizor de putere.

Explicația constă în faptul că de data aceasta, cel puțin teoretic, jumătate din puterea furnizată de fiecare generator este absorbită de rezistorul R_1 (plasat între nodurile 5 și 6). În ciuda acestei irrosiri de putere, circuitul prezintă avantajul unei bune separări a celor două generatoare între ele. Acest lucru poate fi dovedit analizînd transferul de putere între poarta cu terminalele 5 și 4 și, respectiv, cea cu terminalele 6 și 4, cu ajutorul circuitului din figura 5.11-c.

Ultima parte a listei exemplu 5.3 pune în evidență o izolare de cel puțin 20 dB între cele două generatoare, în toată gama de frecvență aleasă (cu un maxim de peste 30 dB în centrul gamei).

Lista exemplu 5.3 (continuare)

* BALEIERE (D/N): N

* FRECVENȚA (MHz): 3

* PARAMETRU (Y/U/P/I/E/T/F): P

Ap=-3.66 dB S= 1.2172E+00

* PARAMETRU (Y/U/P/I/E/T/F): I

Gi= 3.3070E+01 Bi=-1.6174E+01
Ri= 2.4402E-02 Xi= 1.1934E-02
RF=3.7481E-01 (-8.52 dB)
PH= 145.89 grd

* PARAMETRU (Y/U/P/I/E/T/F): E

Ge= 1.9779E+01 Be=-8.1515E+00
Re= 4.3219E-02 Xe= 1.7812E-02
RF=2.0083E-01 (-13.94 dB)
PH= 100.02 grd

* PARAMETRU (Y/U/P/I/E/T/F):

* CONTINUARE (C/P/A/R/S): C

* TIP ELEMENT (RU): R

NR	VAL.(kOhm)	K	K
R1	0.1	5	,6
R2	.005	6	,4

* INDICE: 2

NR	VAL.(kOhm)	K	K
R2	0.5	6	,4

* INDICE: 0

* TIP ELEMENT (RU):

* CONTINUARE (C/P/A/R/S): R

* BALEIERE (D/N): N

* FRECVENȚA (MHz): 3

* PARAMETRU (Y/U/P/I/E/T/F): P

Ap=-3.45 dB S= 1.0672E+00

* PARAMETRU (Y/U/P/I/E/T/F): I

Gi= 7.4223E+00 Bi=-6.4534E+00
Ri= 7.6727E-02 Xi= 6.6711E-02
RF=5.0181E-01 (-5.99 dB)
PH= 40.4 grd

* PARAMETRU (Y/U/P/I/E/T/F): E

Ge= 1.9780E+01 Be=-8.1287E+00
Re= 4.3251E-02 Xe= 1.7775E-02
RF=2.0028E-01 (-13.97 dB)
PH= 100 grd

* PARAMETRU (Y/U/P/I/E/T/F):

* CONTINUARE (C/P/A/R/S): C

* TIP ELEMENT (RU): R

NR	VAL.(kOhm)	K	K
R1	0.1	5	,6
R2	0.5	6	,4

* INDICE: 2

NR	VAL.(kOhm)	K	K
R2	.05	6	,4

* INDICE: 0

* TIP ELEMENT (RU):

* CONTINUARE (C/P/A/R/S): A

* NODURI INTRARE: 5, 4

* NODURI IESIRE: 1, 4

* Rg (kOhm): .05

* Rs (kOhm): .05

* BALEIERE (D/N): D

* Fmin (MHz): 1

* Fmax (MHz): 9

* Fpas (MHz): 2

* PARAMETRU (YUPIET): P

F= 1 MHz
Ap=-4.04 dB S= 1.2054E+00

F= 3 MHz
Ap=-3.57 dB S= 1.3008E+00

F= 5 MHz
Ap=-3.74 dB S= 1.3439E+00

F= 7 MHz
Ap=-3.97 dB S= 1.3828E+00

Lista exemplu 5.3 (fig. 5.11)

ANALIZA CIRCUITELOR LINIARE
IN REGIM SINUSOIDAL

* MODELE: RLCUVDIETFOYS

* NUMARUL DE NODURI: 6

* ELEMENTE: RU

* UNITATEA DE
FRECVENȚA (G/M/K/H): M

* Fo (MHz): 1

* ELEMENTE R: 2

NR	VAL.(kOhm)	K	K
R1	0.1	5	,6
R2	.05	6	,4

* ELEMENTE U: 2

NR	L1(μH/Qo)	K	U12	U13
U1	3.12/25	0.93	1	0
U2	1.12/20	0.93	1	1

* CONTINUARE (C/P/A/R/S): A

* NODURI INTRARE: 1, 4

* NODURI IESIRE: 5, 4

* Rg (kOhm): .05

* Rs (kOhm): .05

* BALEIERE (D/N): D

* Fmin (MHz): 1

* Fmax (MHz): 9

* Fpas (MHz): 2

* PARAMETRU (YUPIET): PIE

F= 1 MHz
Ap=-4.04 dB S= 1.2054E+00
Gi= 1.7605E+01 Bi=-1.7243E+01
Ri= 2.8992E-02 Xi= 2.8394E-02
RF=4.2079E-01 (-7.52 dB)
PH= 106.73 grd
Ge= 2.1144E+01 Be=-2.2022E+01
Re= 2.2686E-02 Xe= 2.3627E-02
RF=4.7253E-01 (-6.51 dB)
PH= 121.13 grd

F= 3 MHz
Ap=-3.57 dB S= 1.3008E+00
Gi= 1.6422E+01 Bi=-7.3675E+00
Ri= 5.0692E-02 Xi= 2.2743E-02
RF=2.2042E-01 (-13.14 dB)
PH= 75.53 grd
Ge= 1.9781E+01 Be=-8.1399E+00
Re= 4.3233E-02 Xe= 1.7790E-02
RF=2.0054E-01 (-13.96 dB)
PH= 100.02 grd

F= 5 MHz
Ap=-3.74 dB S= 1.3439E+00

G1= 1.5358E+01 B1=-0.0702E+06
 Ri= 5.6314E-02 Xi= 2.2258E-02
 RF=2.1300E-01 (-13.43 dB)
 PH= 62.34 grd
 Ge= 1.9057E+01 Be=-5.8233E+00
 Re= 4.7993E-02 Xe= 1.4666E-02
 RF=1.4939E-01 (-16.51 dB)
 PH= 89.28 grd

F= 7 MHz
 Ap=-3.97 dB S= 1.3828E+00
 Gi= 1.4331E+01 Bi=-5.8186E+00
 Ri= 5.9904E-02 Xi= 2.4322E-02
 RF=2.3330E-01 (-12.64 dB)
 PH= 55.36 grd
 Ge= 1.8400E+01 Be=-5.0842E+00
 Re= 5.0492E-02 Xe= 1.3952E-02
 RF=1.3760E-01 (-17.23 dB)
 PH= 80.08 grd

F= 9 MHz
 Ap=-4.21 dB S= 1.4209E+00
 Gi= 1.3355E+01 Bi=-5.8098E+00
 Ri= 6.2964E-02 Xi= 2.7392E-02
 RF=2.6072E-01 (-11.68 dB)
 PH= 51.04 grd
 Ge= 1.7773E+01 Be=-4.8092E+00
 Re= 5.2425E-02 Xe= 1.4185E-02
 RF=1.3918E-01 (-17.13 dB)
 PH= 72.41 grd

* CONTINUARE (C/P/A/R/S): C

* TIP ELEMENT (RU): R

NR	VAL.(kOhm)	K	K
R1	0.1	5	6
R2	.05	6	4

* INDICE: 2
 R2 .005 6 ,4

* INDICE: 0

* TIP ELEMENT (RU):

* CONTINUARE (C/P/A/R/S): R

Lista exemplu 5.3 (ultima parte)

F= 9 MHz
 Ap=-4.21 dB S= 1.4209E+00

* CONTINUARE (C/P/A/R/S): C

* TIP ELEMENT (RU): R

NR	VAL.(kOhm)	K	K
R1	0.1	5	6
R2	.05	6	4

* INDICE: 2
 R2 .05 1 ,4

* INDICE: 0

* TIP ELEMENT (RU):

* CONTINUARE (C/P/A/R/S): A

* NODURI INTRARE: 5, 4
 * NODURI IESIRE: 6, 4

* Rg (kOhm): .05

* Rs (kOhm): .05

* BALBIE (D/N): D
 * Fmin (MHz): 1
 * Fmax (MHz): 9
 * Fpas (MHz): 2
 * PARAMETRU (YUPIET): P
 F= 1 MHz
 Ap=-22.09 dB S= 4.8676E+01
 F= 3 MHz
 Ap=-34.6 dB S= 1.3268E+03
 F= 5 MHz
 Ap=-30.57 dB S= 5.4483E+02
 F= 7 MHz
 Ap=-25.25 dB S= 1.6136E+02
 F= 9 MHz
 Ap=-22.23 dB S= 8.0402E+01

* CONTINUARE (C/P/A/R/S): S

5.3.1. Sursă de curent comandată în tensiune (I) și sursă de tensiune comandată în tensiune (E)

Ne vom ocupa în continuare de două modele care aparțin unor componente fictive, utile în principal la analiza rețelelor electrice conținând elemente active. Este vorba despre sursa (generatorul) de curent comandată în tensiune, reprezentată în figura 5.12 și sursa (generatorul) de tensiune comandată în tensiune, reprezentată în figura 5.13. Într-unul dintre subcapitolele următoare, acei cititori nefamiliarizați cu aceste componente (repet, fictive!) vor avea posibilitatea să le vadă incluse în modelele de semnal mic pentru tranzistorul bipolar sau cu efect de cimp și amplificatorul operațional.

Sursa de curent este caracterizată de panta S, măsurată în miliamperi/volt, iar sursa de tensiune de către factorul adimensional A (asimilabil unei amplificări sau atenuări) și rezistența internă R_i, măsurată în kilohmi. Semnalul de comandă pentru fiecare generator în parte îl constituie tensiunea între anumite două noduri ale circuitului, notate cu indicii p și m, în cele două figuri (deci tensiunea U_{pm}).

Când sursele sînt incluse în structura unui circuit avînd n noduri, așa cum sugerează figura 5.14, curenții parțiali I_i și I_j asociați fiecărei surse sînt dependenți de potențialele nodurilor i, j, p și m. Dependența este redată de relațiile (5.6) în cazul sursei de curent și, respectiv, de relațiile (5.7) în cazul celei de tensiune.

(5.6) $I'_i = -SV_p + SV_m$ (5.7)
 $I'_j = SV_p - SV_m$

unde $G=1/R_i$

Fig. 5.14

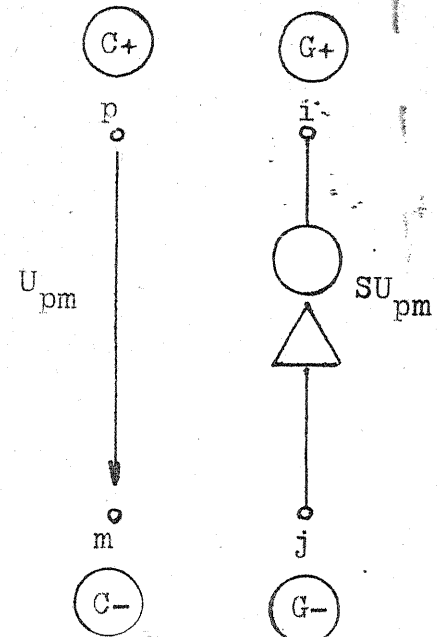
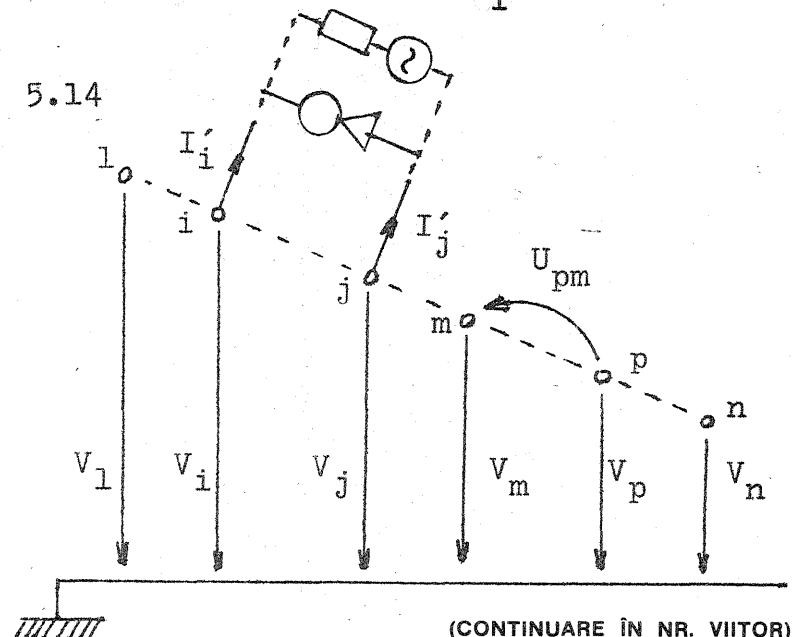


Fig. 5.12

Fig. 5.13

$I'_i = GV_i - GV_j - AGV_p + AGV_m$
 $I'_j = -GV_i + GV_j + AGV_p - AGV_m$

(CONTINUARE ÎN NR. VIITOR)

EXPERIMENT

(URMARE DIN NR. TRECUT)

O primă variantă acceptabilă drept soluție pentru problema propusă (reamintesc, ne ocupăm de realizarea unui variator de putere pentru un reșou electric de cca 600 W) este cea din figura 15.

Din considerentele arătate la început, este de preferat să se „supradimensioneze” voită componentele principale, respectiv puntea redresoare P.R. și tiristorul Th. De exemplu, se poate folosi o punte monolitică de 10 A sau chiar de 20 A, din seriile 10PM4... 8, respectiv 20PM4... 8, adică având tensiunea de lucru admisă de cel puțin 400 V. Chiar cu această supradimensionare, se recomandă montarea punții pe un radiator din tablă de aluminiu cu suprafața de câteva zeci de centimetri pătrați, pentru răcire eficientă la funcționarea îndelungată. La rîndul său, tiristorul va fi ales de preferință dintre modelele cu un curent maxim admis de 10 A sau chiar mai mult, evident tot cu tensiunea nominală de cel puțin 400 V. Personal am experimentat montajul cu cele două tipuri de tiristoare-propușe la început, KY202H și T30N8, pe care,

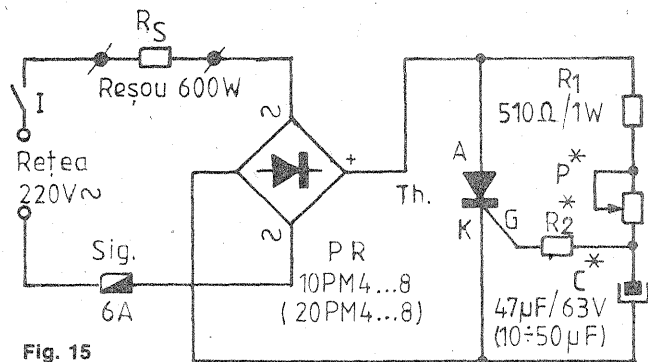


Fig. 15

de asemenea, le-am prevăzută cu mici radiatoare din tablă de aluminiu.

Rezultatele finale au fost în ambele cazuri bune, obținînd o plajă de reglaj între P_{max} și aproximativ $P_{max}/15$, chiar $P_{max}/20$, unde am notat cu P_{max} puterea nominală a consumatorului RS (atunci cînd este alimentat cu tensiunea alternativă de 220 V). Practic, tensiunea efecace maximă pe sarcină este foarte apropiată de 220 V, intervenind numai căderile nesemnificative pe două din diodele punții și pe tiristorul în conducție. Dacă acest lucru nu se întîmplă, înseamnă că avem un exemplar foarte puțin sensibil de tiristor (curent mare de poartă) și în acest caz valoarea rezistenței de limitare R1 trebuie redusă treptat, cu prudență convenită.

Probleme mai delicate ridică obținerea unui prag minim cît mai coborît, care în cele două cazuri a ajuns pînă la cca 50—60 V în valoare efecace. Aici pot apărea diferențe semnificative între combinațiile optime P, C, eventual și R2, îndeosebi în funcție de valoarea concretă a curentului de amorsare pe poartă pentru exemplarul de tiristor testat (parametrul este dat în catalog cu titlu orientativ sau maximal, acoperitor).

Inițial se alege un condensator C electrolitic, cu tensiunea nominală de cel puțin 50—63 V și cu capacitatea de ordinul a 20—50 μ F. Între poarta G a tiristorului și punctul median al circuitului de defazare se intercalează provizoriu un potențiomtru bobinat de cca 250—500 Ω (figurat în schemă R2), care se va înlocui în final printr-un rezistor fix. Cea mai delicată problemă rămîne însă procurarea potențiomtrului de reglaj propriu-zis, P, care trebuie să fie obligatoriu bobinat, de o construcție cît mai robustă și cu izolație foarte bună. Valoarea sa optimă se stabilește prin tatonări succesive, acționîndu-se eventual simultan și asupra lui C și R2. Pe de o parte, manevrarea cursorului trebuie să asigure obținerea unui prag inferior cît mai coborît al tensiunii efecace la bornele consumatorului RS (practic nu am reușit cu montajul de față să obțin mai puțin de 50—60 Vef), iar pe de altă parte, este de dorit ca în plajă activă de reglaj să fie inclusă aproape întreaga cursă a lui P.

Practic, pentru exemplarul de KY202H folosit am stabilit ca optimă combinația: $P \approx 100\text{--}120\text{ k}\Omega$; $C = 47\ \mu\text{F}$; $R2 = 0$. În cazul tiristorului T30N8 am fost nevoit să reduc valoarea lui P la cca 25—33 $\text{k}\Omega$ cu același condensator $C = 47\ \mu\text{F}$ și, în plus, să intercalez pe R2 $\approx 56\ \Omega$ din considerente de stabilitate a pragului inferior. Ulterior am găsit și exemplare de T30N8 sau T25N8 mult mai sensibile, dar și altele mai puțin sensibile.

Pentru că am pomenit de stabilitate, reamintesc că în paralel cu reșoul am avut conectate în permanență un bec de reșea de 60 W și un voltmetru de tensiune alternativă (valoare efecace), pe domeniul de 300 V. Tendințele de „instabilitate” se pot manifesta în vecinătatea pragului inferior, cînd reglajul nu mai este uniform și becul-martor pîlpîie supărător, aleator. Avem tot interesul să împingem cît mai „jos” acest prag, iar tatonarea experimentală a lui R2 ne poate ajuta mult în această privință.

(CONTINUARE ÎN NR. VIITOR)

INDICATOR

Atunci cînd un consumator oarecare, alimentat de la rețeaua electrică de 220 V \sim , își încetează brusc funcționarea, este bine să investigăm — înainte chiar de a bînui defectarea lui propriu-zisă — două alte posibile cauze, mai banale, dar nu tocmai improbabile, și anume eventuala întrerupere a tensiunii de reșea și, respectiv, arderea siguranței fuzibile.

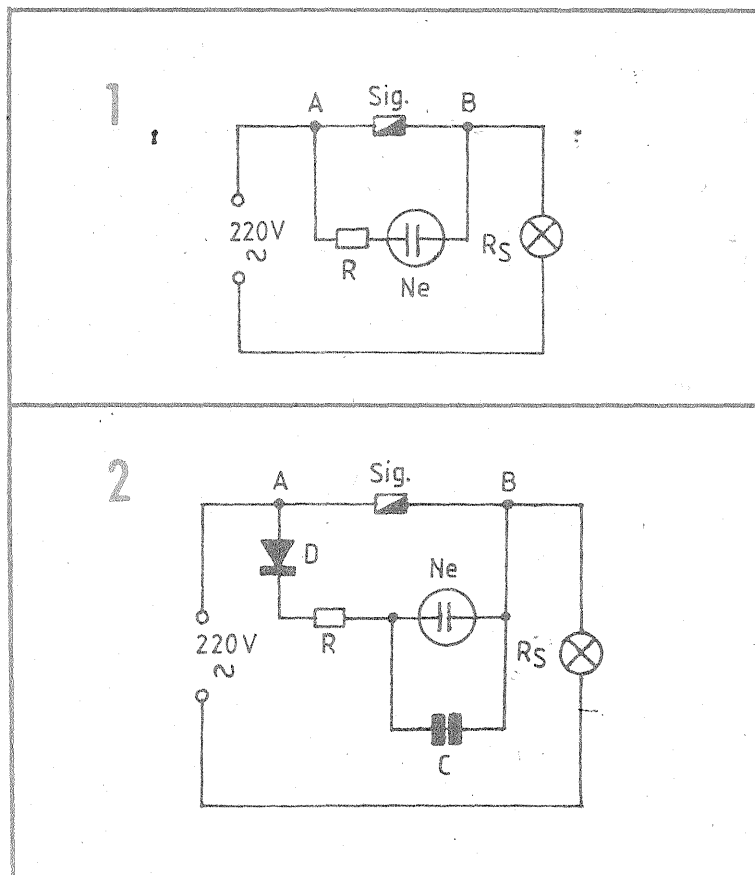
Alăturat ne referim tocmai la acest din urmă aspect, cu mențiunea că adeseori avem de-a face nu cu una, ci cu două sau chiar trei siguranțe fuzibile inserate în circuitul consumatorului respectiv (una generală, de intrare în casă sau apartament, alta la tablou, pe circuitul de „prize” sau pe cel de „iluminat”, și alta eventual încorporată în însuși aparatul în cauză).

Figura 1 vă reamintește o soluție extrem de simplă și ieftină pentru semnalizarea optică a întreruperii/arderii unei siguranțe fuzibile, Sig. Se folosește în acest scop un bec miniatură cu „neon”, Ne, practic de orice tip, căruia i se mai adaugă în serie o rezistență de limitare, R (uzual între 100 $\text{k}\Omega$ și 300 $\text{k}\Omega$, în funcție de „beculețul” Ne disponibil). Există chiar mai multe modele de indicatoare care au încorporat ansamblul serie R+Ne, disponibile ca piese de schimb la diverse aparate electrocasnice.

În condiții normale de funcționare, căderea de tensiune la bornele A-B ale siguranței este practic nulă, ansamblul R+Ne scurt-circuitat și deci becul Ne rămîne stins. La arderea siguranței, între bornele A și B vom avea însă, practic, tensiunea de reșea (prin consumatorul RS, presupus integru și cu o rezistență internă mult mai mică decît R), astfel că becul Ne va amorsa instantaneu și va rămîne în continuare aprins, semnalînd evenimentul.

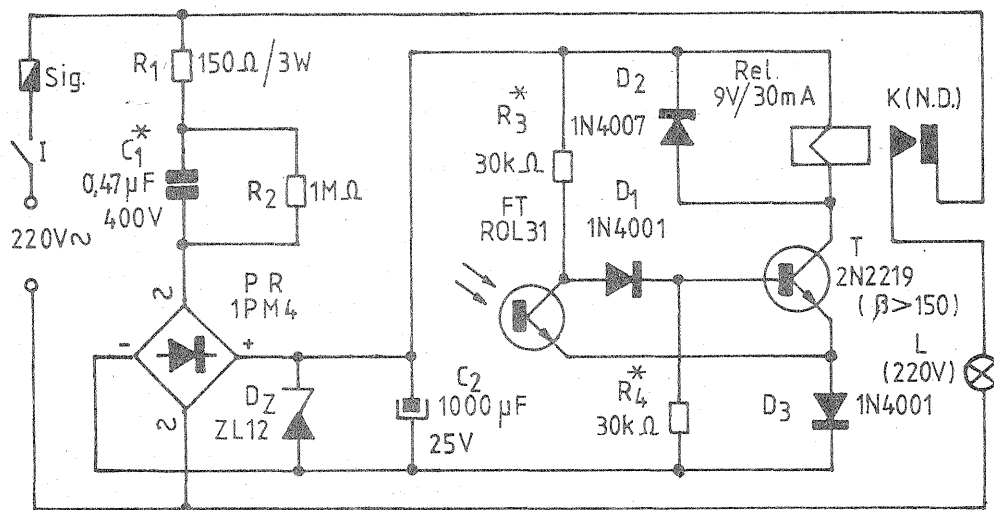
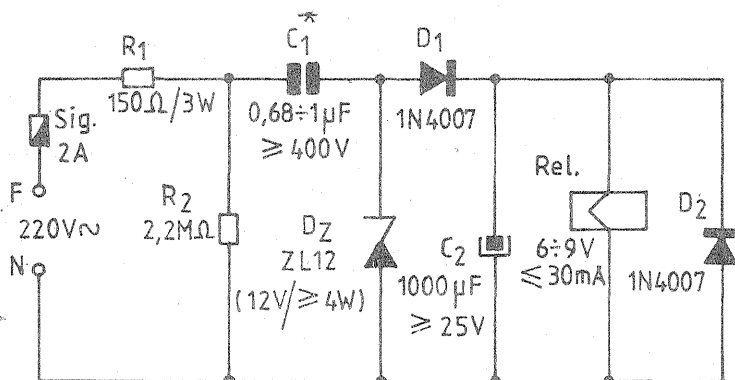
Cu prețul unei complicări minore — o diodă și un condensator în plus —, montajul poate fi făcut să semnalizeze mai „insistent”, de pildă prin aprindere cu intermitență a becului Ne, așa cum se sugerează în figura 2. Dioda D se alege din seriile 1N4004—1N4007, F407 etc., iar condensatorul C se tatonază între 0,1 μ F și 2,2 μ F (model cu tensiunea de lucru de cel puțin 250 V).

La arderea siguranței, tensiunea de la bornele A-B este redresată monoalternanță de către dioda D, fiind apoi folosită la încărcarea condensatorului C prin rezistența R de valoare mare (0,5:5 M Ω). Atunci cînd tensiunea pe condensator atinge o anumită valoare — specifică becului Ne —, acesta se aprinde pentru un timp scurt (pînă la descărcarea lui C sub pragul minim necesar



menținerii descărcării în gaz), după care becul se stinge și începe un nou ciclu. Frecvența de pîlpîire depinde de tipul becului Ne și de constanta de timp R.C. O pîlpîire rapidă, de cca două cicluri pe secundă, este mai supărătoare la ochi, mai „enervantă” decît una lentă, deci și mai efecace pentru scopul propus.

Întreg ansamblul D, R, C și Ne poate fi introdus în corpul unui indicator de funcționare, fiind apoi bransat în paralel cu siguranța „supravegheată”.



Alimentarea de la rețea, fără transformator, a unor mici consumatori ce solicită o tensiune continuă joasă prinde — se pare — „teren”, ca dovadă că ea este tot mai frecvent întâlnită în revistele de construcții electronice pentru amatori și nu numai. Cu toate neajunsurile și chiar riscurile pe care le comportă, avantajele incontestabile ale acestei soluții o impun, treptat-treptat, în tot mai multe aplicații nepretențioase, dintre care unele au fost sugerate sau doar reamintite recent la această rubrică.

În nr. 11/1991, de pildă, procedeul era aplicat pentru alimentarea de la rețea a unor rele mici de tensiune continuă. Răspund pe această cale celor care au solicitat lămuriri suplimentare, prin

două precizări utile, pe care — bineînțeles — le-am verificat în prealabil experimental, cu bune rezultate.

Prima se referă la posibilitatea de a suprima puntea redresoare din circuitul de rețea, nu atât pentru că ar (mai) fi chiar așa greu de procurat, ci îndeosebi pe considerente de preț. Da, puntea poate fi eliminată, încredințând diodei zener Dz, de putere adecvată, un rol dublu, și anume de a scurtcircuita semialternanțele de o anumită polaritate, „nedorite” (pe cele negative, de exemplu) și, respectiv, de a le limita pe celelalte la o valoare maximă de tensiune ce poate fi considerată ca nepericuloasă pentru consumatorul preconizat. O posibilă soluție este sugerată în figura 1,

unde R1, R2, C1 și Dz au rolul deja cunoscut (vezi articolul amintit, ca și colecția revistei pe anul 1991).

Ceea ce apare aici în plus este dioda de separație D1, care permite condensatorului C2 să se încarce numai pe parcursul semialternanțelor „dorite” (pozitive față de masă, în acest caz). Evident, releul Rel este „echipat” cu obișnuita diodă D2, montată în paralel pe contactele bobinei lui și având aici rolul de a proteja condensatorul C2 împotriva tensiunii înalte de autoinducție generată la întreruperea curentului prin bobină.

Procedeul este posibil și dă rezultate bune, dar nu se recomandă decât la nevoie, când procurarea unei punți redresoare

adevate este inaccesibilă sau/și curentul consumat de releu este foarte mic. Într-adevăr, observăm că energia înmagazinată de condensatorul C2 este furnizată de către o singură semialternanță, deci se pune dintr-o dată problema de a mări semnificativ capacitatea acestui condensator (față de varianta cu punte). Mai decurge de aici și necesitatea de a mări intensitatea curentului absorbit din rețea, implicit și capacitatea condensatorului serie C1, cu consecințe nefavorabile în ceea ce privește disipația termică pe rezistența de limitare R1, ca și pe dioda Zener Dz.

Exemplul din figura 1 a fost conceput și experimentat cu rezultate bune pentru releu cu tensiunea (continuă) de anclanșare fermă de cel mult 9 V și cu un curent absorbit de maximum 30 mA. Pentru extinderea domeniului se vor tatona adecvat valorile lui C1 și Dz, reținând eventual și pe R1 și C2.

Cea de-a doua precizare se referă la posibilitatea de a utiliza tensiunea continuă joasă astfel obținută nu numai la comanda „directă” a releului, ci și la acționarea acestuia prin intermediul unor comutatoare electronice nepretențioase. Un astfel de exemplu este sugerat în figura 2, unde s-a folosit un releu cu anclanșare fermă la cca 9—10 V și la un curent de maximum 30 mA. Partea de alimentare este cea prezentată în articolul menționat, iar comutatorul electronic gen trigger-Schmitt, puțin modificat în vederea comandării sale prin semnal luminos (înlocuirea primului tranzistor printr-un fototranzistor), este și el cunoscut cititorilor revistei. Așa cum este reprezentat, montajul poate servi la aprinderea automată a unui bec L de rețea, prin intermediul contactelor k (normal deschise) ale releului, atunci când iluminarea ferestrei fototranzistorului FT scade brusc sub un anumit nivel. Cu mici modificări, însă, el poate fi ușor transformat în instalație de avertizare, supraveghere de flacără, „barieră” luminoasă, cîntor de obiecte în mișcare etc.

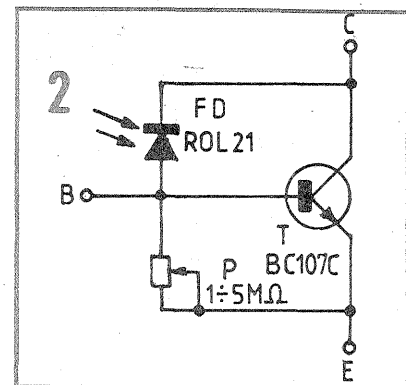
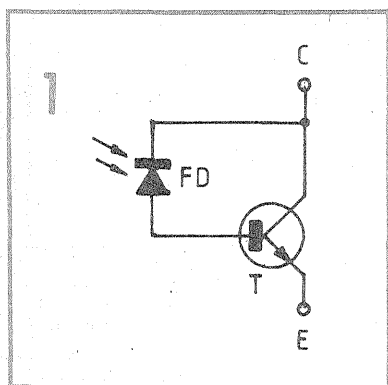
Pagini realizate de fiz. ALEX. MĂRCULESCU

FOTOTRANZISTOR

Mai sînt încă numeroși amatori care se văd nevoiți să simuleze un fototranzistor, de pildă după „rețeta” clasică reamintită în figura 1. Se pot folosi practic orice tranzistor T cu siliciu, npn, de mică putere și orice tip de fotodiodă FD.

Rezultatele sînt în general bune, dar mai pot apărea și unele surprize neplăcute, cum ar fi, de pildă, „refuzul” fototranzistorului obținut de a se bloca total (suficient de mult) în întuneric complet. Cauza o constituie, cel mai probabil, factorul beta foarte mare al tranzistorului T, acesta putînd astfel fi adus în conducție semnificativă (neneglijabilă) prin intermediul curentului invers de întuneric al fotodiodei.

O soluție simplă de remediere a situației este sugerată în figura 2, unde mai apare suplimentar potențiometrul P (semireglabil), conectat între baza și emitorul lui T. Se obține astfel un fototranzistor cu sensibilitatea ajustabilă, la care dispunem și de acces la terminalul bază, în vederea unor comenzi combinate.



Pagini realizate în colaborare
cu MINISTERUL TINERETULUI și SPORTULUI

QTC DE YO

În numeroase articole găzduite în paginile revistei de-a lungul anilor, s-au putut întîlni semnături sub forma unor grupe de litere și cifre, începînd cu combinația YO. Acestea reprezintă indicativele de apel, după care sînt identificați radioamatorii români.

În prezent, în țara noastră există peste 4 000 de radioamatori emițători autorizați și cîteva mii de radioamatori de recepție. Activitatea acestora este coordonată de Federația Română de Radioamatorism, organ tehnic de specialitate avînd personalitate juridică și care face parte din Ministerul Tineretului și Sportului.

Activitatea radioamatorilor poate fi privită atît ca un hobby, ce oferă satisfacții deosebite celor ce-l practică, dar mai ales ca un sport tehnico-aplicativ, cu profunde și serioase implicații sociale.

Concret, una din preocupările radioamatorilor constă în experimentarea și construcția aparatului destinate traficului radio în unde scurte și ultrascurte. Sub aceste cîteva cuvinte se ascund, în fapt, mult mai multe lucruri întrucît radioamatoris-

mul înseamnă cercetare, dorință de nou, de autodepășire și este, pentru mulți dintre cei care-l practică, un adevărat mod de viață, o poartă spre profesionalism și inițiative private.

Sînt utilizate diverse moduri de lucru: telegrafie morse, telefonie (modulație de frecvență, de fază sau emisiuni cu bandă laterală unică), iar mai recent transmisiunile numerice (telex, AMTOR, Radio Packet, PSK etc.). Se lucrează în unde scurte și ultrascurte și chiar în microunde. Se fac experimentări și în frecvențe foarte joase (VLF). Legăturile se realizează direct, dar și prin reflexii pe Lună, pe meteoriți sau prin retransatoare (atît analogice — lucrînd în timp real, cît și numerice

— cu stocare și transmisiune în salve a informației). Se utilizează curent și sateliții artificiali, realizați de radioamatori, sateliții avînd atît orbite circulare (joase), cît și orbite eliptice, ce prezintă perioade mari de acces.

Lucrăm curent (organizînd chiar concursuri) cu televiziunea cu baleiaj lent (SSTV) și s-au făcut experimentări cu televiziunea normală, cu baleiaj rapid (FSTV). Informatica, microprocesoarele, prelucrarea numerică a semnalelor, sinteza directă a frecvențelor au pătruns deja în viața zilnică a radioamatorilor. În București funcționează deja o rețea completă de calculatoare conectate prin stații radio și digipeatere. La fe-

derate este deja în funcțiune un Mail Box (cutie poștală) și un BBS Bulletin Board System). Se lucrează în concursuri, se fac schimb de cărți de confirmare (QSL-uri), se obțin diplome, se învață limbi străine, geografie și astronomie, se experimentează antene, se fac măsurători și construcții de aparate, dar mai ales se fac legături și se leagă prietenii cu oameni aflați în cele mai îndepărtate puncte de pe glob.

Alți radioamatori sînt pasionați de expediții, de radiogoniometrie sau de telegrafia de viteză. La Campionatele Mondiale organizate în 1991 de Uniunea Internațională de Radioamatorism (IARU) — din care radioamatorii români fac parte încă din 1937 — au fost obținute medalii de argint, atît la concursurile de unde scurte, cît și la telegrafia de viteză. Prin talent și mult efort, echipele noastre au surclasat radioamatori din țări cu mult mai bune posibilități materiale și dotări tehnice.

Deci, pregătirea tineretului în domeniul electronicii și radiocomunicațiilor, al informaticii, geografiei, limbilor străine și pentru apărarea patriei, precum și un hobby interesant pentru toți sînt atribute ce caracterizează în mod obișnuit activitatea noastră.

Edităm o revistă („Radioamator YO”), colaborăm la realizarea unei emisiuni la Radio „România Cultural”, iar joia și vinerea, după orele 18,00, pe frecvența de 3 650 kHz, transmitem buletine de informații și știri cu caracter tehnic. O altă preocupare serioasă constă în organizarea unor rețele de urgență, care sînt pregătite pentru a fi gata în orice moment să intervină, în caz de calamități și situații deosebite, pentru a contribui la salvarea de vieți omenești și bunuri materiale, la apărarea țării.

Se poate cred înțelege că radioamatorismul este o activitate complexă, cu posibilități diverse de afirmare și care, după cum spuneam, poate oferi și mari satisfacții. Aceasta cu atît mai mult cu cît, datorită nivelului de dezvoltare generală a industriei românești, cît și veniturilor noastre modeste, majoritatea aparatului trebuie construită cu forțe proprii. În acest sens, cred că trebuie aduse mulțumiri deosebite revistei „TEHNIUM”, care constant a publicat numeroase scheme interesante și moderne. De fapt, chiar redactorul-șef, specialist în radiocomunicații, este și un pasionat radioamator, cu rezultate apreciabile în domeniul undelor ultrascurte.

Pentru a afla și alte lucruri despre noi, sau pentru a deveni chiar dv., stimați cititori, membri ai acestei familii, vă rugăm să ne contactați la federație (F.R.R., P.O.Box 22-50/71 100, București; telefon 15 55 75) sau la radiocluburile județene, ale căror indicative și adrese le prezentăm în continuare. Deocamdată, eu vă spun doar: Vy 73 and hpe cuagn! — ceea ce tradus din limbajul radioamatorilor înseamnă: Multe salutări și sper pe curînd!

Ing. VASILE CIOBĂNIȚA YO3APG,
secretar general
al Federației Române
de Radioamatorism

Radioclubul județean	Indicativ	Cod poștal, localitate	Căsuța poștală	Telefon
1	2	3	4	5
AB ALBA	YO5KDV	3325 Aiud	8	968/61539
AG ARGES	YO7KFA	0300 Pitești	10	976/33030
AR ARAD	YO2KBQ	2900 Arad 1	51	
BC BACĂU	YO8KAN	5500 Bacău	66	931/12937
BH BIHOR	YO5KAU	3700 Oradea	182	991/14604
BN BISTRIȚA-NĂȘAUD	YO5KAQ	4400 Bistrița	56	990/15110
BT BOTOȘANI	YO8KGL	6800 Botoșani	22	985/13860
BR BRAILA	YO4KAK	6100 Brăila	70	946/14962
BV BRAȘOV	YO6KAF	2200 Brașov	98	921/43518
BU BUCUREȘTI	YO3KWA	71100 București	22—130	90/153329
BZ BUZĂU	YO9KPI	5100 Buzău	133	
CS CARAȘ-SEVERIN	YO2KCB	1700 Reșița	43	964/31580
CL CĂLĂRAȘI	YO9KPL	8500 Călărași	34	911/13359
CJ CLUJ	YO5KAI	3400 Cluj-Napoca	168	95/112001
CT CONSTANȚA	YO4KCA	8700 Constanța	733	916/54864
CV COVASNA	YO6KET	4000 Sf.-Gheorghe	17	
DB DÎMBOVIȚA	YO9KBU	0200 Tîrgoviște	2	926/11596
DJ DOLJ	YO7KAJ	1100 Craiova	10	94/132494
GL GALAȚI	YO4KBJ	6200 Galați	82	934/14795
GJ GORJ	YO7KFR	1400 Tîrgu-Jiu	25	929/11704
GR GIURGIU	YO9KPZ	8375 Giurgiu	20	
HR HARGHITA	YO6KNE	4100 Miercurea-Ciuc	4	958/11278
HD HUNEDOARA	YO2KAR	2700 Deva	24	956/16149
IL IALOMIȚA	YO9KIH	8400 Slobozia	14	
IS IAȘI	YO8KAE	6600 Iași	59	
MM MARAMUREȘ	YO5KAD	4400 Baia-Mare	220	994/32216
MH MEHEDINȚI	YO7KBS	1500 Drobeta-Turnu Severin	57	
MS MUREȘ	YO6KBM	4300 Tîrgu-Mureș	146	954/36145
NT NEAMȚ	YO8KGP	5600 Piatra-Neamț	44	
OT OLT	YO7KFH	0500 Slatina	13	
PH PRAHOVA	YO9KAG	2000 Ploiești	113	971/41261
SJ SĂLAJ	YO5KLD	4700 Zalău	14	
SM SATU-MARE	YO5KAW	3900 Satu-Mare	73	
SB SIBIU	YO6KAL	2400 Sibiu	126	924/11441
SV SUCEAVA	YO8KGA	5800 Suceava	60	987/10377
TR TELEORMAN	YO9KPM	0700 Alexandria	5	913/11034
TM TIMIȘ	YO2KAB	1900 Timișoara	100	96/130744
TL TULCEA	YO4KCC	8800 Tulcea 5	87	915/16580
VS VASLUI	YO8KOA	6400 Bîrlad	37	984/04147
VL VÎLCEA	YO7KFE	1000 Rîmnicu-Vîlcea	15	947/17650
VN VRANCEA	YO4KCS	5300 Focșani	61	

Moldovan Emil, str. Petru Maior nr. 67, sc. III, ap. 2, 1700 Reșița, jud. Caraș-Severin, solicită următoarele reviste „TEHNIUM”: 7, 8, 10, 11/1971; 3, 4/1972; 8, 9/1973; 6/1974; 11/1975; 1, 3, 4, 5, 9/1976; 2/1977 și oferă la schimb: 3/1973; 7/1974; 4, 5/1975; 5, 12/1977; 2, 5, 10, 12/1978.

Georgescu Mircea, cartier Traian, str. Haeman nr. 16, bl. 96, sc. B, ap. 6, 1000 Rm. Vîlcea, jud. Vîlcea, oferă următoarele reviste „TEHNIUM”: 7/1972; 5/1973; 8/1977; 10/1979; 7, 8/1981; 3, 8, 9/1982; 1, 8, 9, 10, 11, 12/1983; 3, 11/1984; 5, 8, 9, 10, 11/1985; 1, 4, 5, 6, 9, 10, 12/1986; 3, 4, 5, 6, 8, 9, 11, 12/1988; 1, 5, 6, 7, 8/1990.

Solicită: 1, 2/1971; 7, 11/1974; 3/1975; 4/1976; 9/1977; 9, 12/1979 și 5/1989.

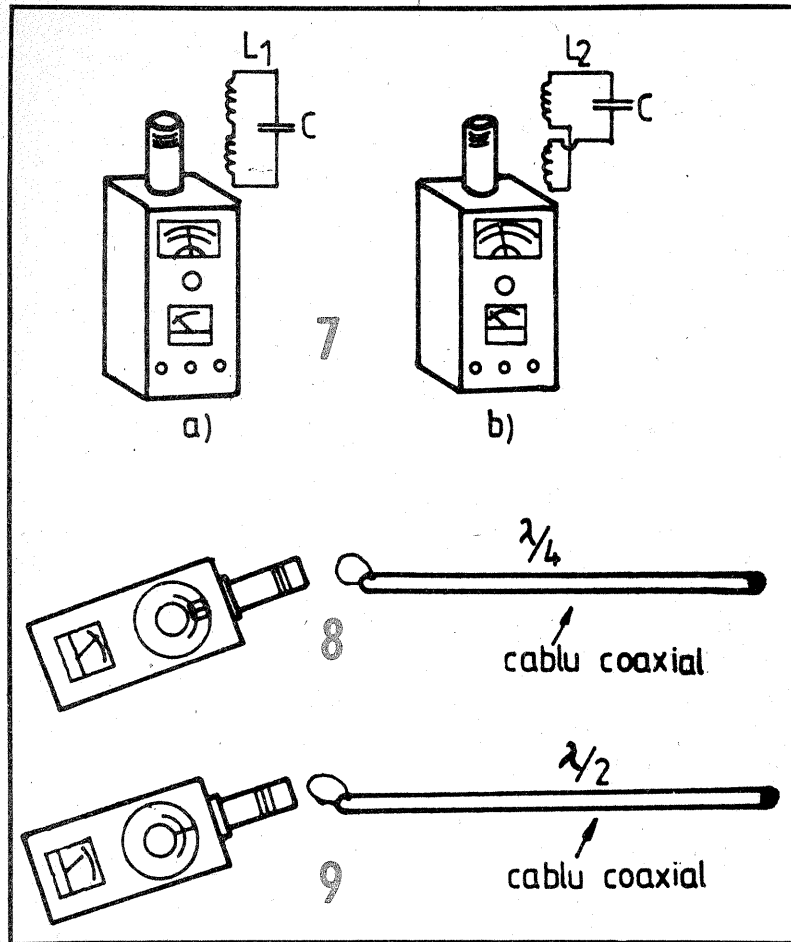
(URMARE DIN NR. TRECUT)

11. Măsurarea unei linii de transmisie în sfert de lungime de undă

La construirea și acordarea antenelor, de multe ori avem nevoie de o secțiune de linie de transmisie (exemplu: cablu coaxial) în sfert de lungime de undă. Lungimea fizică a unui segment de linie $\lambda/4$ în spațiu liber poate fi ușor determinată prin calcul. Lungimea electrică este însă întotdeauna diferită de lungimea fizică, ca urmare a factorului de viteză „V” al liniei. Pentru obținerea unui segment de linie în $\lambda/4$ se procedează în felul următor: se taie o bucată de linie puțin mai mare decât

APLICAȚIILE GRID-DIP-METRULUI în laboratorul radioamatorului

CORNELIU FĂURESCU, YO4AUL, maestru al sportului



lungimea rezultată din calcul, apoi se scurtcircuitază la un capăt, lăsând capătul opus liber. Se măsoară frecvența de rezonanță a liniei. Dacă rezonanța are loc la o frecvență mai joasă, se acordează g.d.m.-ul pe frecvența dorită, apoi se scurtcircuitază linia puțin câte puțin pînă cînd rezonanța are loc la această frecvență. În acest fel se poate obține orice multiplu impar de $\lambda/4$. (fig. 8).

12. Măsurarea unei linii de transmisie în $\lambda/2$.

Pentru măsurarea unei linii în $\lambda/2$ se procedează ca în exemplul precedent, exceptînd faptul că de această dată capătul opus al liniei se scurtcircuitază. Dacă linia este de bună calitate, dip-ul la rezonanță va fi destul de pronunțat în ambele cazuri (fig. 9).

13. Măsurarea impedanței caracteristice „Z” a unui cablu coaxial se poate face în felul următor:

Se ia o secțiune de cablu coaxial în $\lambda/8$ (unde λ este lungimea de undă la care are loc măsurătoarea) și se determină inductanța, respectiv capacitatea acestei secțiuni, folosindu-ne de o capacitate și o inductanță etalon. Pentru determinarea capacității, la un capăt al cablului se conectează inductanța etalon, celălalt capăt rămînd în gol, iar pentru determinarea inductanței se conectează la un capăt o capacitate etalon, celălalt capăt fiind scurtcircuitat. În acest ultim caz, conductorul care face scurtcircuitul poate fi folosit ca buclă de cuplaj pentru bobina g.d.m.-ului. Datele astfel obținute se introduc în formula impedanței:

$$Z_0 = \sqrt{\frac{L}{C}}$$

14. Determinarea factorului de viteză „V” al unei linii de transmisie.

Pentru determinarea factorului de viteză al unei linii se ia un segment de linie și se măsoară frecvența la care are loc rezonanța (capătul opus fiind deschis). Se măsoară apoi lungimea fizică a segmentului, iar valorile obținute se introduc în formula:

$$V = \frac{F \times L}{75}$$

unde F este frecvența de rezonanță în MHz, iar L este lungimea exprimată în metri.

15. Măsurător de cîmp.

Conectînd o antenă scurtă (1 m) la capătul cald al bobinei g.d.m.-ului obținem un măsurător de cîmp de radiofrecvență sensibil, foarte util la reglarea antenelor.

16. Măsurarea frecvenței de rezonanță a antenelor se poate efectua prin apropierea grid-dip-metrului de mijlocul firului antenei și prin căutarea minimului indicației instrumentului. La antenele de tip dipol se scurtcircuitază cele două brațe cu o spiră care se cuplează inductiv cu bobina g.d.m.-ului (fig. 10).

17. Măsurarea frecvenței de rezonanță a bobinelor de șoc de radiofrecvență se poate face scurtcircuitînd bobina respectivă și verificînd apoi frecvența de rezonanță serie cu ajutorul g.d.m.-ului.

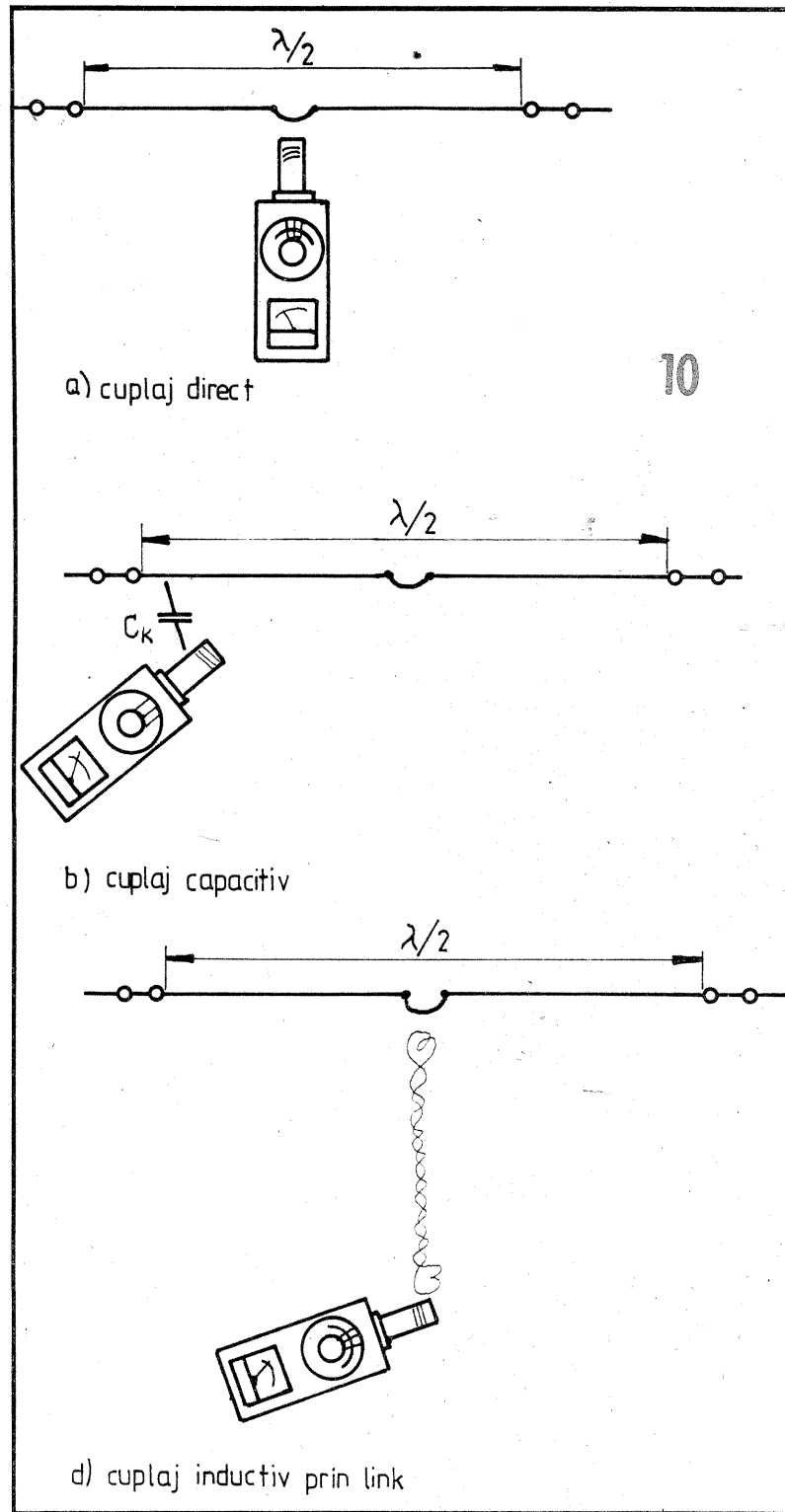
18. Indicator de neutrodinare. Grid-dip-metrul se poate folosi cu succes ca indicator de neutrodinare al unui etaj amplificator de radiofrecvență. Cînd instrumentul este

cuplat la circuitul anodic al etajului, acordarea circuitului de grilă al acestuia la rezonanță va produce un minim pronunțat al indicației instrumentului dacă etajul nu este corect neutrodinat. Această metodă prezintă avantajul că permite reglajul „la rece” al neutrodinării, nefiind necesar ca aparatul să fie alimentat cu înaltă tensiune, asigurînd în acest fel securitatea operatorului.

19. Oscilațiile parazite constituie o problemă frecvent întâlnită atît la amplificatoarele cu tuburi, cît și cu tranzistoare. Grid-dip-metrul poate fi folosit la identificarea și determinarea frecvenței acestor oscilații.

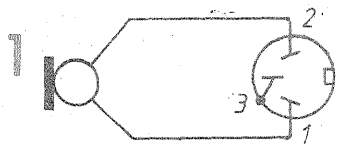
20. Localizarea obiectelor metalice ascunse. Folosind ca accesoriu un receptor în care se ascultă semnalul generat de către grid-dip-metru, putem localiza cu ușurință instalații sau obiecte metalice ascunse. Cu cît se apropie mai mult bobina grid-dip-metrului de un obiect metalic, cu atît circuitul oscilant al acestuia se va dezacorda, modificînd astfel tonul semnalului recepționat. Folosind această metodă, se poate localiza, de exemplu, traseul instalației electrice din perete pentru a evita baterea unui cui chiar în această instalație. O altă metodă de localizare a instalațiilor metalice din perete constă în a induce un semnal de radiofrecvență în acestea și de a urmări semnalul cu ajutorul unui receptor. În acest ultim caz se recomandă folosirea celui mai mic semnal care permite localizarea, pentru a evita eventualele interferențe cauzate receptoarelor vecine.

Desigur, cu aceste explicații nu am epuizat toate posibilitățile grid-dip-metrului, dar considerăm totuși că cele prezentate se vor constitui într-un îndreptar util pentru cei care posedă deja un astfel de instrument și într-un îndemn pentru cei care nu s-au hotărît încă să-și construiască unul.



PREAMPLIFICATOARE PENTRU MICROFOANE DE CALITATE

În articolul de față prezentăm câteva preamplificatoare pentru microfoane de calitate, de tipul celor cu bobină mobilă, de joasă impedanță. Microfoanele de calitate se caracterizează printr-un răspuns cât mai liniar (± 3 dB) într-o bandă de frecvențe cât mai largă, 40—18 000 Hz, sensibilitate 0,2 mV/ μ bar, impedanță de 200 Ω , sarcină nominală $\geq 500 \Omega$, tensiune de zgomot propriu 0,2 μ V, distorsiuni armonice sub 0,5% și păstrarea acestei valori pînă

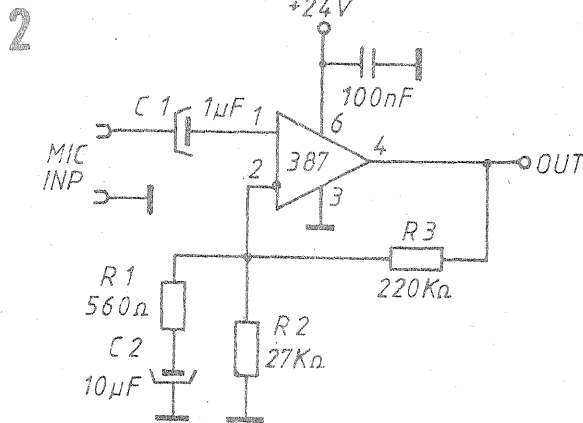


la o presiune acustică de cca 500 μ bar (128 dB SPL), răspuns bun la regim tranzitoriu. Pe lângă aceste performanțe electroacustice deosebite, microfoanele de calitate se deosebesc de cele obișnuite și prin modul de cuplaj cu preamplificatorul asociat. Microfoanele obișnuite se cuplează prin intermediul unui cablu cu două fire, dintre care unul este ecranul. Microfoanele de calitate se cuplează prin intermediul unui cablu cu trei fire, dintre care unul este ecranul. Acest cablu este detașabil, el conectându-se la microfon prin intermediul unor mufe perechi, una dintre acestea făcînd corp comun cu microfonul. Legăturile bobinei mobile la o astfel de mufă de tip special, de exemplu TUCHEL T3007 sau DIN 41624, sînt indicate în figura 1. Existența celor

AURELIAN LĂZĂROIU, CĂTĂLIN LĂZĂROIU

două fire „calde” este specifică microfoanelor de calitate care, în acest caz, se mai numesc și microfoane cu ieșire simetrică. Acest tip de ieșire este preferat deoarece facilitează minimizarea brumului și a altor zgomote, prin folosirea preamplificatoarelor cu intrare diferențială.

(β M387). Rezistoarele R2, R3 asigură curentul de polarizare pe intrarea inversoare și stabilesc nivelul de c.c. la ieșire, egal cu jumătate din tensiunea de alimentare. Amplificarea este determinată de raportul R3/R1 și este egală cu 52 dB. Condensatorul C2 stabilește frecvența limită in-



Aceste aspecte sînt foarte importante, dat fiind nivelul relativ scăzut al semnalului oferit de microfoanele cu bobină mobilă.

Realizare practică

Pentru început vom prezenta schema unui preamplificator de microfon obișnuit, cu intrare asimetrică. În schema acestuia, indicată în figura 2, se folosește o secțiune a circuitului integrat preamplificator dual cu zgomot redus LM387

ferioară a benzii de trecere a preamplificatorului, care este egală cu 30 Hz, considerată la -3 dB.

Rezistoarele R1 și R2 vor fi de tip RPM (cu peliculă metalică), iar condensatorul C1 va fi de tip LL (low leakage). În aceste condiții, raportul semnal/zgomot al preamplificatorului este de -67 dB. Coeficientul de distorsiuni armonice este sub 0,1%.

Montajul este simplu și compact; nu necesită componente cu toleranță precisă. Este alternativa preferată în aplicații în care factorii pre-

dominanți sînt spațiul și prețul. Trebuie însă subliniat că raportul semnal/zgomot se degradează pe măsură ce crește lungimea cablului de legătură cu microfonul.

Pentru reducerea brumului și a altor zgomote, chiar la lungimi mari ale cablului de legătură, se folosesc microfoane cu ieșire simetrică. Cele două fire „calde” ale cablului de interconexiune sînt răsucite între ele. În acest fel, în cele două fire se vor induce egal orice interferențe perturbatoare. Deoarece intrarea preamplificatoarelor pentru microfoane cu ieșire simetrică este diferențială, rezultă că semnalele utile sînt transmise diferențial, iar cele perturbatoare se aplică pe mod comun. În acest fel se asigură amplificarea semnalelor utile și rejecția semnalelor perturbatoare.

Cele mai multe preamplificatoare realizează intrarea diferențială prin folosirea unui transformator cu intrare simetrică (fig. 3). Primarul transformatorului are priză la mijloc, care se conectează la masă. În acest fel, semnalele aplicate pe mod comun sînt scurtcircuitate la masă, iar semnalul diferențial trece în secundarul transformatorului, unde are loc și o amplificare a acestuia. Totodată, transformatorul realizează conversia de la intrarea simetrică la cea asimetrică a preamplificatorului propriu-zis. Schema acestuia este identică cu a preamplificatorului din figura 2, cu excepția rezistenței care determină amplificarea, stabilită în așa fel încît amplificarea totală, incluzînd și pe a transformatorului, să fie de 52 dB. Transformatorul de intrare trebuie să fie adaptat la impedanța microfonului și să prezinte o

TRANSFORMAREA FILTRULUI „DOLBY B” ÎN REGIM „DNL”

Filtrul de zgomot „Dolby B” oferă rezultatele scontate doar atunci cînd caracteristica de frecvență în poziția „înregistrare” se suprapune perfect peste caracteristica de frecvență în poziția redare. În practică, această suprapunere nu se realizează din motive multiple; aceasta se traduce prin o cădere accentuată a caracteristicii de frecvență în domeniul frecvențelor medii și înalte.

În figura 1 și 2 sînt prezentate modificările care pot fi operate (în figura 1 în cazul sistemelor „Dolby B” realizate cu circuite integrate de tip

NE645, NE646, LM1112CN etc. și în figura 2 în cazul filtrelor „Dolby B” realizate cu componente discrete).

Ambele variante permit coborîrea pragului de acționare al filtrului pînă la un nivel apropiat de al filtrului dinamic de zgomot (DNL).

Practic, problema constă în a identifica terminalul 10 al circuitului integrat sau emitorul tranzistorului care comandă etajul de detecție și de a găsi un loc convenabil unde să poată fi fixat comutatorul „Dolby-DNL”.

Ing. BARBU POPESCU

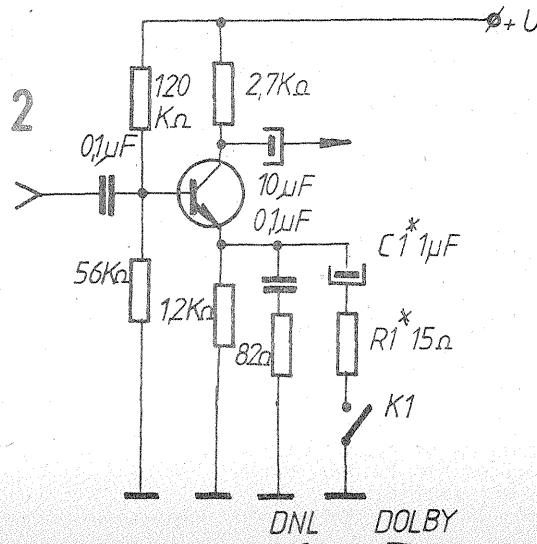
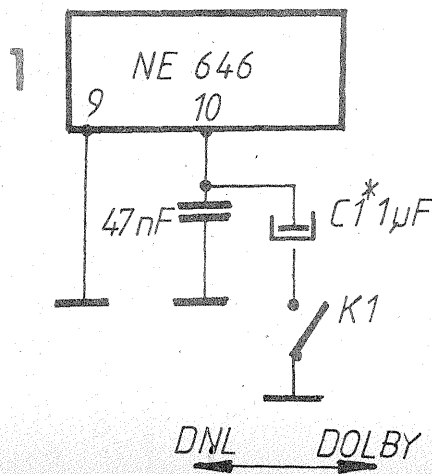
Modificarea prezentată va opera numai în poziția „redare”; în poziția „înregistrare”, comutatorul K va fi fixat pe poziția „Dolby B”, iar comutatorul „Dolby ON/OFF” în funcție de modul în care se face înregistrarea.

Folosind montajul propus se va obține o ridicare a nivelului frecvențelor medii și înalte în condițiile în care se reduce sensibil zgomotul de fond.

Este cunoscută necesitatea prezenței unui sistem de protecție rapid și eficient pentru grupul de difuzoare care face parte dintr-o incintă electroacustică, în momentul depășirii accidentale a puterii nominale, livrate acestela de către amplificatorul de audiofrecvență. În acest scop a fost realizat montajul propus în figura alăturată.

Analizînd schema electrică, se observă că montajul este compus din două părți distincte, și anume filtrele pentru cele două grupuri de difuzoare D1 și D2, specializate în redarea frecvențelor joase și înalte și protecția electronică propriu-zisă. Semnalul audio destinat grupului de difuzoare se aplică la intrarea montajului și este împărțit pe două ramuri, și anume semnalul care conține frecvențele joase, aplicat difuzorului sau grupului de difuzoare D1, filtrat de grupul L1, C1, C2 și semnalul care conține frecvențele înalte, destinat difuzorului D2, filtrat de grupul R1, C3, L2.

Pericolul cel mai mare pentru o incintă acustică îl reprezintă depășirea puterii acustice în ceea ce privește spectrul frecvențelor înalte. Datorită acestui fapt, protecția electronică este destinată a lucra cu precădere tocmai în acest domeniu. În această situație, grupul D1, R3, C4 furnizează o tensiune continuă care, la o anumită valoare, provoacă intrarea în stare de conducție a tranzistorului T1. Acest fapt determină acționarea releului RL, care închide contactul normal deschis 1RL și în acest fel deconectează grupul de difuzoare de la bornele de ieșire ale amplificatorului de audiofrecvență, evitînd aplicarea unei pu-



FRECVENȚMETRU

TIBERIU URSOIU

Pentru lucrul în joasă frecvență, de multe ori se dovedește utilă folosirea unui frecvențmetru. Desigur, unii dintre cititorii revistei posedă un asemenea aparat, fie industrial, fie confecționat după una din schemele apărute chiar în aceste pagini. Bineînțeles, rezultatele obținute în măsurători sînt — în majoritatea cazurilor — direct proporționale cu complexitatea montajului și acuratețea execuției, în cazul celor „HOME MADE”.

Afișarea se face, în majoritatea cazurilor, cu 6, 7 sau 8 cifre. Consumul de energie este, de obicei, peste 300 mA în curent continuu, ajungînd la valori impresionante la variantele TTL cu 8 cifre și diverse divizoare la intrare (de exemplu 95H90, 11C90 etc.).

Montajul propus spre realizare întrunește cîteva caracteristici notabile:

- consum redus de energie;
- volum fizic redus;
- folosirea circuitelor CMOS de fabricație indigenă;

ductor, notat 74C925. Compatibilitatea este totală.

Structura internă — pe blocuri funcționale — o găsim prezentată în (1). Se observă imediat asemănarea cu structura unui frecvențmetru clasic, condensată însă pe o singură „așchie” de siliciu cu intrări pentru toate semnalele utile (CLK, RST, LE) și cu ieșiri multiplexate pentru patru cifre. Acest ultim amănunt, precum și executarea C.I. cu structuri CMOS, asigură un consum redus de energie. Tensiunea de funcționare este de 3—6 V. Ieșirile spre segmente se trec prin rezistențe de limitare, iar comanda cifrelor cu catod comun se face prin intermediul unor tranzistoare cu rol de etaje tampon.

REALIZARE PRACTICĂ

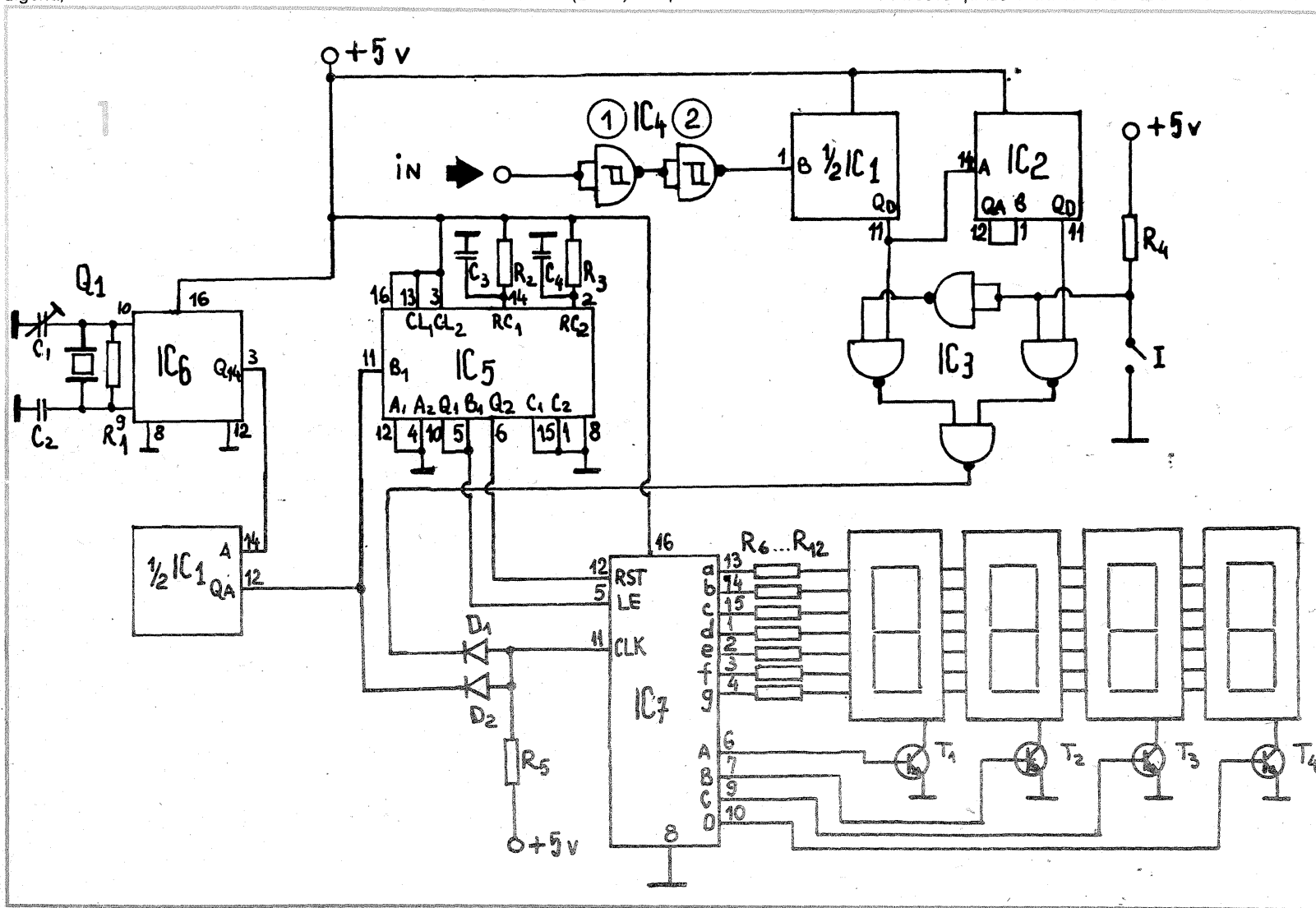
Baza de timp este construită cu ajutorul unui alt circuit CMOS, respectiv 4060. Acesta conține un oscilator, precum și un șir de 14 divizoare binare. În cazul acestui montaj am folosit un cuarț de 32 768 Hz (2^{15} Hz). La pinul 3 al C.I.4060 se va

Semnalul de intrare este format cu ajutorul porților NAND 1 și 2. Pentru acest loc s-a preferat varianta TTL, respectiv 74LS132. Cei ce posedă, pot folosi, bineînțeles, circuite CMOS rapide, tip 74HC132.

Urmează o primă divizare cu 5 necesară pentru corelarea bazei de timp (1 s) cu perioada de măsurare efectivă a semnalului, precum și furnizarea semnalelor RST și LE. După acest divizor, la ieșire se va face o nouă divizare cu 10. Cele două semnale :5 și :50 ajung printr-un comutator electronic — cu patru porți NAND — la intrarea de numărare CLK, via D1.

În funcție de poziția întrerupătorului I ce comandă în c.c. comutatorul, vom obține două game de măsurare a frecvențelor: 0 la 99,99 kHz și 0 la 999,9 kHz.

După cum am arătat, elementul original al montajului este C.I. MMC22925. Conform datelor (1), acesta poate măsura și afișa pînă la 1 MHz frecvența de intrare. Rezultă deci destul de clar



— posibilitatea înlocuirii prin circuite TTL sau HCT în cazul în care se dorește extinderea gamei de frecvențe măsurabile;

— afișarea pe numai 4 cifre a informației utile. După cum se observă în schema electrică (fig. 1), se disting șase blocuri principale.

- divizoarele de intrare;
- baza de timp cu cuarț;
- modulul de numărare/afișare;
- circuitele ce furnizează semnalele LE (latch) și RST (reset);
- alimentarea cu energie;
- formatoarele semnalului de intrare.

Elementul original al acestui montaj îl întîlnim în modulul de numărare/afișare și este reprezentat de C.I.—MMC22925, produs la „Microelectronica”. Această capsulă DIL16 este, de fapt, o reproducere a unui celebru cip National Semicon-

obține — după o divizare cu 2^{14} — un semnal de 2 Hz, cu precizia și stabilitatea cuarțului. Pentru a obține semnalul util de 1 Hz pentru acționarea corectă a modulului de numărare se mai face o divizare cu 2 prin intermediul a $1/2 \cdot 490$ — circuit TTL divizor cu 2 și 5.

Semnalul furnizat la ieșirea lui 490 (1 Hz) comandă poarta construită cu D1 și D2, a cărei ieșire atacă blocul de numărare/afișare.

Paralel se declanșează un prim monostabil cuprins în C.I.4098 (4528), al cărui impuls de ieșire este furnizat blocului de numărare la intrarea LE, comandînd, totodată, un al doilea monostabil a cărui ieșire furnizează impulsul necesar la intrarea RST.

Cronograma asociată funcționării corecte a frecvențmetrului descris pînă în acest moment se poate observa în figura 2.

că orice altă frecvență superioară acestei valori trebuie să sufere o divizare convenabilă pentru a putea fi citită.

Tensiunea de funcționare optimă (+5 V) convine și pentru cazul folosirii unor divizoare TTL (74LS90, de exemplu) sau chiar ECL (10131 sau 95H90). Nu recomandăm folosirea pe post de prime divizoare a capsulelor CMOS normale, deoarece acestea au la o alimentare de +5 V o funcționare corectă de pînă la cca 3 MHz. Soluția optimă ar reprezenta-o familia CMOS rapid (HC, HCT) ce îmbină frecvența ridicată de lucru gen TTL—LS, 40—60 MHz — cu consumul mic al CMOS-urilor (1,5 mW) și tensiunea redusă de lucru (+5 V).

În concluzie, circuitele folosite depind doar de zestreă fiecărui constructor.

În schema electrică de bază prezentată am fi-

gurat varianta cea mai accesibilă, folosind TTL-LS și CMOS normal.

Se pot folosi afişoare cu 7 segmente din producția „Microelectronica” sau tip VQE, cu condiția esențială de a fi de tipul cu CATOD COMUN.

Sursa de alimentare cu +5 V prezintă probleme deosebite, avînd în vedere faptul că afişarea LED — cu cel mai „gurmand” regim în curent — se face cu multiplexare, deci cu un regim mediu de circa 35 mA. Deci, consumul per total va atinge 100 mA în cele mai nefavorabile condiții. Prin folosirea în exclusivitate a circuitelor HC și a afişoarelor cu mare randament luminos la 1—2 mA pe segment, consumul poate scădea la numai 20—25 mA, devenind interesantă o variantă portabilă.

Nu vom da o anume sugestie pentru cablajele imprimate, deoarece posibilitățile multiple de adaptare la piesele disponibile, precum și în cadrul unui complet de măsurători electronice ar face improprie poate desfășurarea unei anumite forme sau suprafețe.

PUNERE ÎN FUNCȚIUNE

După proiectarea, executarea și plantarea cablajului imprimat, se vor lipi conductoare pentru alimentare LE, RST și CLK.

Se leagă provizoriu RST și CLK la masă, iar LE la +5 V și se va alimenta montajul de la această tensiune. Va apărea afișat 0000. Dacă afișajul pre-

zintă altă valoare, se va atinge pentru scurt timp cu firul RST bara de +5 V. Valoarea afișată va fi 0000. Se repune RST la masă.

Se va deconecta CLK de la masă și se va lăsa în aer sau se va atinge punctul +5 V. Numărătorul va avansa. Nu trebuie să vă faceți probleme dacă după deconectarea de la (—) a CLK, afişarea va arăta un avans rapid al numărătorului. Sînt exemple de MMC22925 extrem de sensibile, ce pot capta brumul electric ambiant.

Se pune LE la masă. Numărarea se va opri, afişîndu-se ultima valoare citită. Modulul de numărare/afişare funcționează perfect!

Dacă se va observa apariția unor cifre ciudate, recomandăm verificarea sudurilor la elementele de afişare. Defectul este sigur acolo.

Se leagă apoi celelalte blocuri componente.

Se pune întrerupătorul I la masă. Se aplică la intrare un semnal TTL de frecvență cunoscută, ce se va regăsi afișată în cazul funcționării corecte a întregului montaj. Decuplînd de la masă pe I, valoarea afișată va fi divizată prin 10.

Utilizare:

- frecvențmetru;
- AVO-metru, prin intercalarea unui convertor frecvență-tensiune;
- scală numerică;
- generator de funcții cu afişarea frecvenței.

LISTA DE PIESE

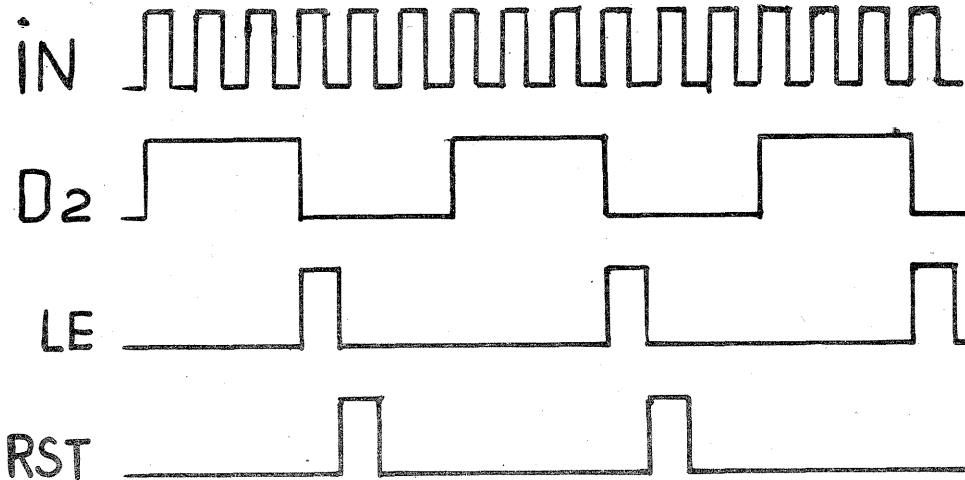
- IC1, IC2 — 74LS90, 7490;
- IC3 — 76LS00, 74HC00, 7400;
- IC4 — 74LS132, 74HC132;
- IC5 — 4098, 4528, 4538, 74HC4098;
- IC6 — 4060, 74HC4060;
- IC7 — MMC22925, 74C925;
- T1... T4 — BC337;
- D1, D2 — 1N4148;
- Q1 — cuarț 32768 Hz;
- R1 — 470—680 kΩ;
- R2, R3 — 100 kΩ;
- R4 — 4,7 kΩ;
- R5 — 3,3 kΩ;
- R6 — R12 — 220 Ω;
- C1 — 10—40 pF;
- C2 — 22 pF;
- C3, C4 — 3,3 nF.

Notă: C11 și C12 pot fi înlocuite printr-o singură capsulă tip 74LS390 sau 74HC390.

BIBLIOGRAFIE:

- (1) — DATA BOOK — „Microelectronica”, 1989
- (2) — ELEKTOR, 12/1991
- (3) — LE HAUT PARLEUR, nr. 1 788

2



AMPLIFICATOR pentru FRECVENȚMETRU

Ing. MIHAI CODĂRNAI

Pentru a adapta ușor nivelurile, uneori destul de mici, de la intrarea unui frecvențmetru, la valorile impuse de pragurile de basculare ale circuitelor integrate din componența acestuia (în cazul de față circuite integrate din familia TTL), recomand construirea unui amplificator de bandă largă. În esență, este vorba de un formator de semnal dreptunghiular care realizează această funcție printr-o amplificare relativ mare.

Așa cum se poate observa din figură, primul tranzistor T1 este un TEC-J canal n de tip BFW10 sau

BFW11, motivată fiind utilizarea sa datorită capacității de intrare reduse (maximum 10 pF) și rezistenței grilă-sursă ridicate. Acest lucru este deosebit de avantajos în separarea sursei de semnal de circuitul de amplificare, fără a o influența pe prima. Protecția la supratensiuni accidentale a tranzistorului de intrare se face cu ajutorul grupului R1, D1, D2.

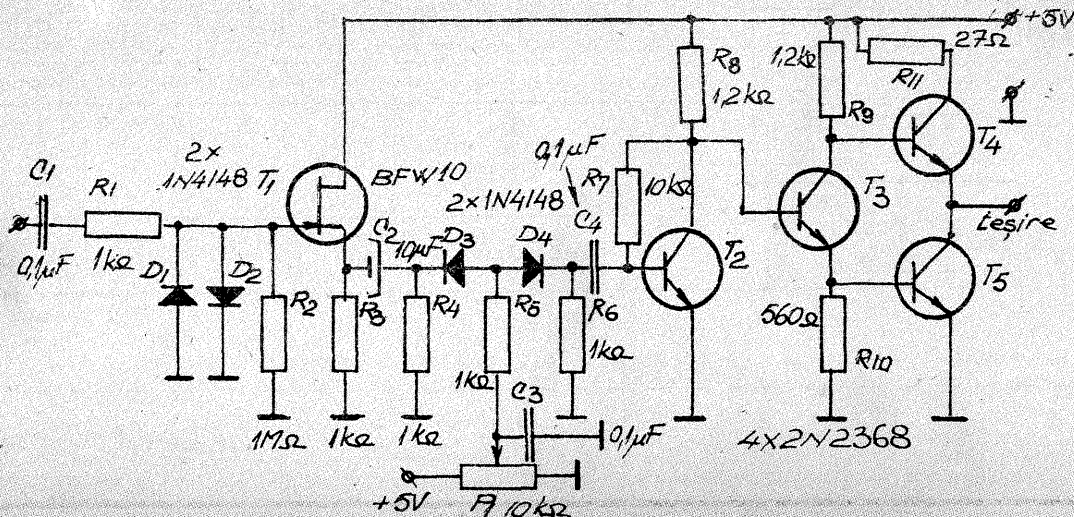
După acest prim etaj urmează un atenuator comandat în curent cu R4, R5, R6, P1, D3, D4. El îmbunătățește

calitatea măsurătorilor prin eliminarea zgomotelor electrice ce pot să apară, eventual suprapuse peste semnalul util. Din acționarea potențiometrului P1 se reglează de așa natură atenuatorul încît frecvența afișată să fie cît mai stabilă și cu variații cît mai mici în jurul valorii măsurate.

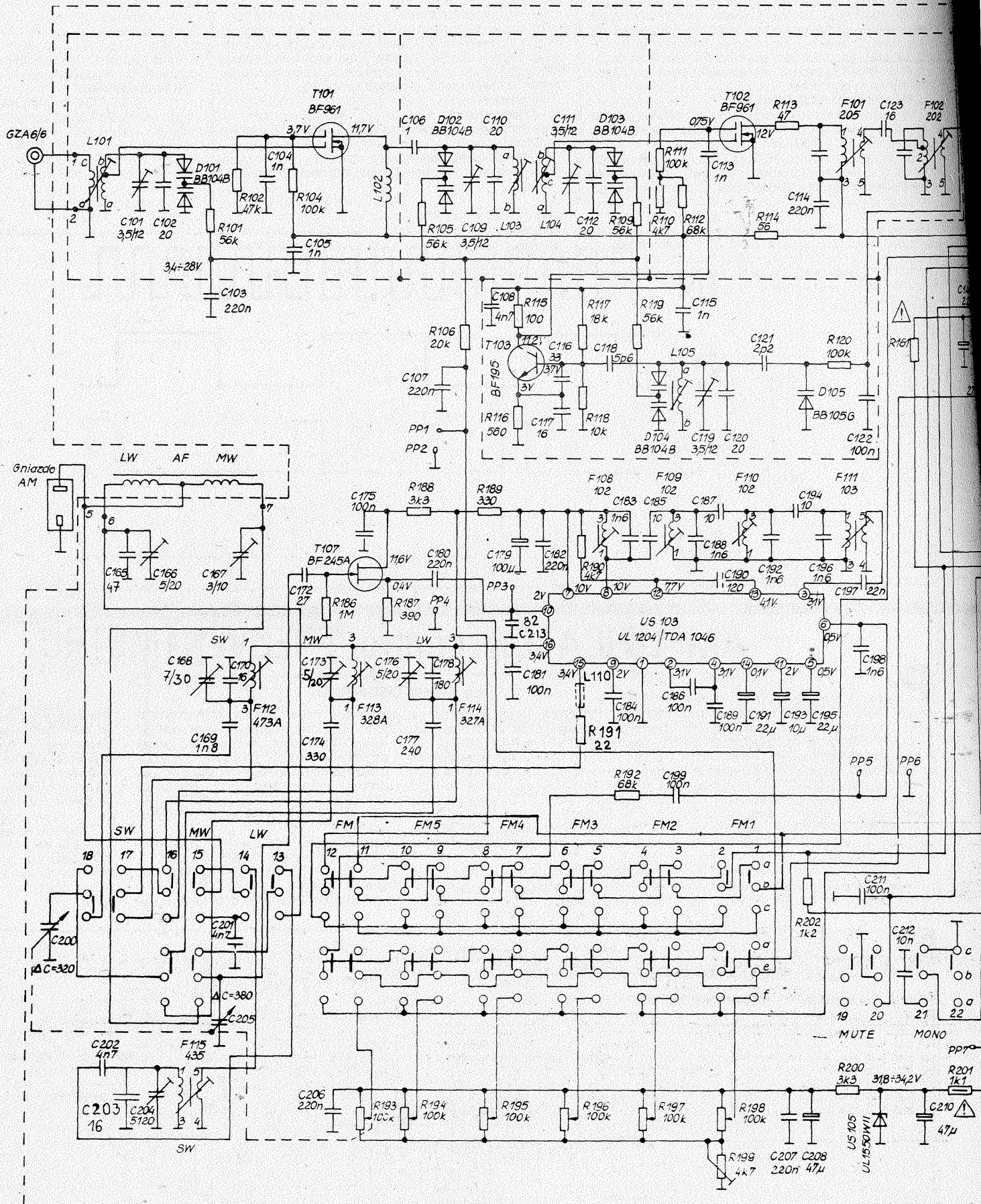
Formatorul de semnal dreptunghiular este realizat cu tranzistoarele T2, T3, T4 și T5, de tip 2N2368, fie 2N914, 2N708 sau 2N706. Pot fi utilizate cu rezultate comparabile și

tranzistoare de tipul BFY90 sau BFY89. Singura măsurătoare în vederea reglării și punerii în funcțiune a acestui montaj este cea a tensiunii colector-emitor a tranzistorului T3. Ea trebuie să fie de aproximativ 2,5 V. Pentru a obține această valoare se va tona rezistența R7.

Sistemul lucrează corect pentru tensiuni de intrare mai mari de 50 mV, dar fără a depăși 40 V vîrf la vîrf. Banda de trecere este cuprinsă între cîteva zeci de hertzi și peste 30 MHz.



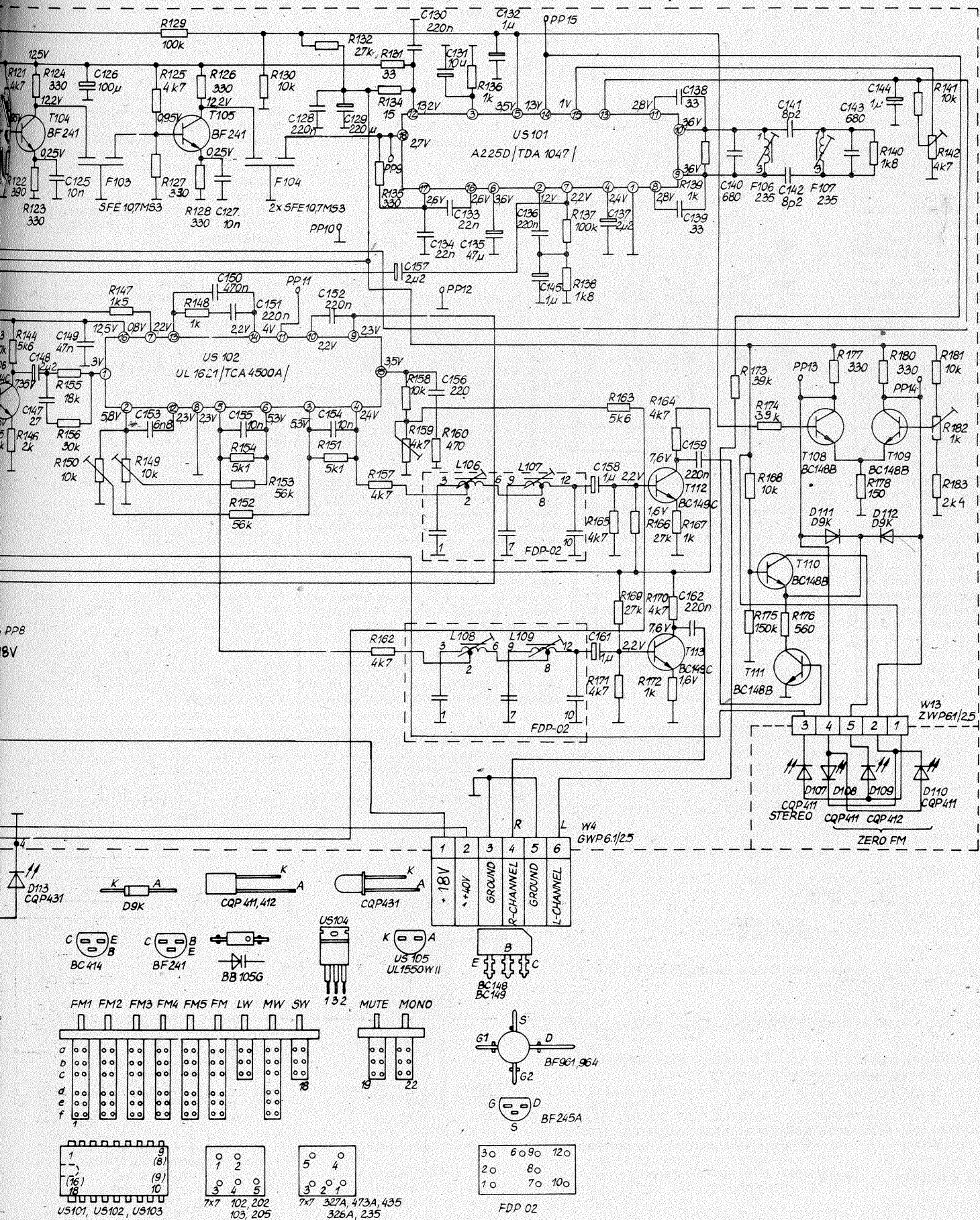
ELTRA CS202



Radioreceptorul ELTRA CS-202, produs UNITRA, permite recepția semnalelor MA din gamele UL, UM, US, respectiv a semnalelor MF în gama undelor ultracurte.

De remarcat faptul că în unde ultracurte există posibilitatea preselecției unor posturi fixe.

Alimentarea aparatului se face cu o tensiune de 18 V, iar pentru alimentarea diodelor varicap tensiunea este de 40 V.



MĂSURAREA TIMPULUI DE EXPUNERE

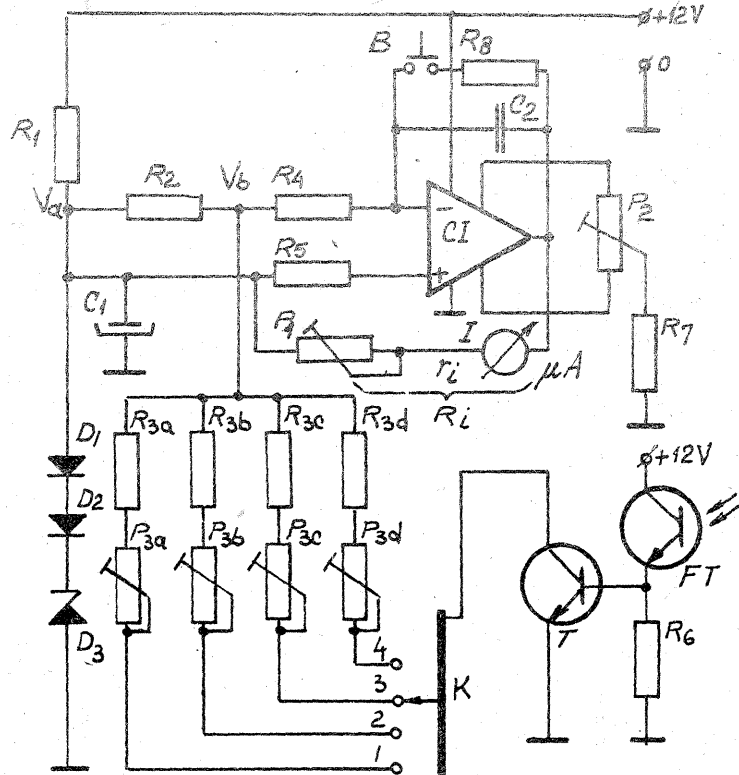
O bună parte a aparatelor de fotografiat dispun de un sistem de reglare a vitezei obturatorului (gan diafragmă sau perdea) care, la cele mai performante dintre ele, poate varia între câteva secunde și până în jurul la a mia parte dintr-o secundă.

De precizia acestui reglaj depinde expunerea peliculei și deci calitatea fotografiei. Bineînțeles că peliculele actuale ale firmelor renumite în acest domeniu sînt performante și din această cauză ele tolerează sub și supraexpuneri destul de importante înainte ca acestea să conducă la rezultate mediocre. Totuși utilizarea îndelungată a unui aparat foto poate duce la dereglarea sau uzarea mecanicii obturatorului, apărînd variații importante ale timpilor reali de expunere în raport cu marcajele inscripționate de fabricanți.

Montajul prezentat în cele ce urmează permite să se controleze acești timpi cu o precizie suficientă (prin măsurare) și de a acționa corespunzător asupra reglajelor mecanice ale aparatului foto.

Captorul de măsură este un fototranzistor care, instalat provizoriu în locul peliculei, va recepționa radiația luminoasă numai în timpul de deschidere a obturatorului. Măsurarea se va executa cu obiectivul scos.

Montajul reprezintă, în fapt, un circuit integrator compus din operaționalul, tip B083, TL083CN (se utilizează un singur amplificator operațional din cele două disponibile) și grupul R₂, R₄, C₂. La iluminarea fototranzistorului FT deschiderea obturatorului, prin intermediul tranzistorului T și al comutatorului K, una din grupările de rezistoare și potențiometrele semireglabile R_{3a} P_{3a}—R_{3d} P_{3d} este pusă la masă. În acest moment va apărea o diferență de potențial Va—Vb și, concomitent, integratorul începe să crească tensiunea de ieșire după o rampă liniară, proporțională cu timpul de expunere și diferența Va—Vb.



La închiderea obturatorului, fototranzistorul FT și tranzistorul T se blochează, diferența de potențial Va—Vb devine practic nulă, iar integratorul trece într-un regim de „memorie analogică”, menținîndu-și ieșirea la nivelul ultimei valori de tensiune.

Practic, prin citirea acestei tensiuni se obține măsurarea timpului real de expunere. Indicația timpului de expunere se face pe un instrument de măsură I, inscripționat corespunzător, instrument care este de preferat să fie cu o sensibilitate cît mai bună, sub 250 μA. Înaintea

fiecărei măsurători, condensatorul C₂ va fi descărcat, prin rezistorul R₈, cu ajutorul butonului B. R_i reprezintă suma dintre rezistența internă a instrumentului r_i și rezistența adițională semireglabilă a potențiometrului P₁. Această sumă se deduce din relația: R_i = r_i + P₁ = U/I, unde U = 4 V și este tensiunea maximă impusă la ieșire în raport cu punctul Va, iar I este curentul prin aparatul magnetoelectric pentru deviația maximă a acului indicator. Cunoșcînd sensibilitatea instrumentului și rezistența sa internă, se va calcula ușor mărirea valorii poten-

țiometrului P₁.

Unul din reglajele montajului constă în compensarea, din potențiometrul P₂, a offset-ului operaționalului pe oricare din scalele de măsură, unde va intra într-o poziție medie a tensiunii „memorate”. Se va observa ușoară tendință de creștere și de scădere a acestei tensiuni în regim de memorare. Acționînd corespunzător asupra cursorului potențiometrului P₂ se tinde a se obține o stagnare a variației potențialului de ieșire al amplificatorului operațional. Elementul de reglaj P₂ este un potențiomtru miniatură multitară sau, în cazul cel mai defavorabil, se vor inseria cu capetele unui potențiomtru semireglabil uzual de 5 kΩ cîte o rezistență de aproximativ 10 kΩ.

Etalonarea se va executa, de preferință, la deviația maximă, pe fiecare din scalele de măsură, cu ajutorul unui aparat de fotografiat de bună calitate și nou. Se vor face expuneri multiple pe fiecare treaptă și se vor corecta de fiecare dată înaintea unei expuneri valorile potențiometrilor P_{3a}—P_{3d} pînă cînd instrumentul va indica un timp de expunere egal cu cel înscris pe aparat.

Treptele de măsură sînt: 1) 0—4 s; 2) 0—1/2 s; 3) 0—1/15 s; 4) 0—1/125 s.

Nu sînt necesare componente pasive de precizie, o toleranță de 5÷10% fiind multumitoare pentru un asemenea montaj.

Listă de componente:

CI — B083, TL083CN etc.; T — BC107—109, BC171—173; FT — ROL32; D₁ = D₂ = 1N4148; D₃ = DZ6V2; R₁ = 470 Ω; R₂ = 10 kΩ; R_{3a} = 3,6 MΩ; R_{3b} = 510 kΩ; R_{3c} = 68 kΩ; R_{3d} = 220 Ω; R₄ = R₅ = 1 MΩ; R₆ = 27 kΩ; R₇ = 10 kΩ; R₈ = 22 Ω; P₁ = 47 kΩ; (instrument de 100 μA); P₂ = 10 kΩ multitară; P_{3a} = 2,5 MΩ; P_{3b} = 250 kΩ; P_{3c} = 25 kΩ; P_{3d} = 250 Ω; C₁ = 100 μF/16 V; C₂ = 15 nF; B — buton microîntrerupător.

Firma „SOSATES” a pus la dispoziția constructorilor o sursă integrată fiabilă cu performanțe bune, sub indicativul L129. Capsula circuitului este identică cu cea a unui tranzistor BD135—139 etc. Specificația terminalelor se prezintă în figura 1. Aplicația practică a unui stabilizator de 5 V este dată în figura 2.

Iată și cîteva dintre performanțele tipice ale acestei surse integrate pentru o tensiune de ieșire de 5 V:

- tensiunea maximă la intrare: V_i = 20 V;
- variația tensiunii de ieșire pentru un curent de sarcini I_o cuprins între

$$600 \text{ și } 850 \text{ mA: } \frac{\Delta V_o}{V_o} = 0,3\text{—}1\%;$$

- curentul maxim prin sarcină: I_o = 0,93—1,2 A, la T_c = 25°C (temperatura capsulei); I_o = 1 A, la T_c = 85°C;
- curentul de scurtcircuit (întoarcerea caracteristicii de ieșire): I_{sc} = 250 mA;
- curentul prin terminalul de polarizare: I_d = 9 mA;
- rezistența internă: R_o = 15 mΩ;
- tensiunea de zgomot la ieșire în banda 10 Hz—100 kHz, C_L = 20 μF : e_n = 70 μV;
- rejecția pulsațiilor de intrare pentru V_i = 4V_{VV}, f = 100 Hz : SVR = 46—60 dB;
- putere totală P_{tot} = 14 W radiator infinit, T_c = 25°C; P_{tot} = 7 W radiator infinit, T_c = 85°C; P_{tot} = 1 W fără radiator.

În figura 3 este prezentată o schemă de aplicație a acestui stabilizator pentru o tensiune de ieșire superioară valorii de 5 V. Variațiile curentului de polarizare

cu temperatura și cu tensiunea de intrare sînt: $\frac{\delta I_d}{\delta T} = -7 \mu A/^\circ C$ și $\frac{\delta I_d}{\delta V_i} = 30 \mu A/V$.

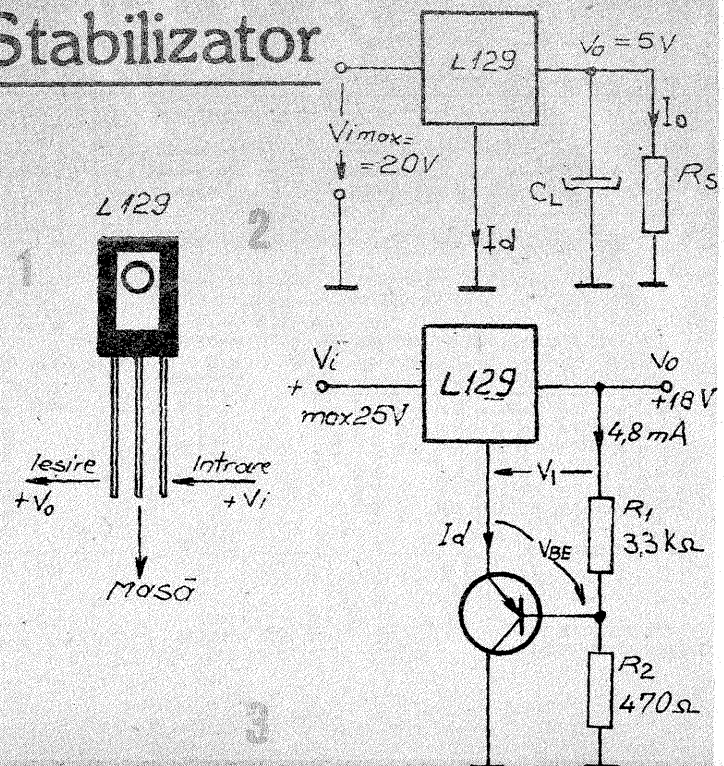
Relația de calcul pentru această variantă este:

$$V_o = (V_1 + V_{BE}) \left(1 + \frac{R_2}{R_1}\right) + \frac{I_d}{\beta_n} \cdot R_2$$

unde β_n este factorul de amplificare în curent al tranzistorului folosit. Acesta poate fi BC177-179 sau BC251-253.

Pagini realizate de ing. MIHAI CODĂRNAI

Stabilizator



TRANSMISIUNI ÎN INFRAROȘU

(URMARE DIN NR. TRECUT)

Oscilatorul modulată în frecvență este alcătuit din tranzistorul T2 și circuitul de temporizare C12. Curentul de colector al tranzistorului T2 încarcă condensatorul C12 pînă la valoarea 0,66·V* (3,7 V), cînd are loc bascularea spre masă a ieșirii circuitului integrat BE555. Tot în acest moment are loc descărcarea rapidă a condensatorului amintit pînă la un potențial de 0,33·V* (1,8 V). Scăderea acestui potențial sub valoarea de 1,8 V conduce la revenirea în starea inițială a bistabilului intern al temporizatorului, după care fenomenul se repetă. Ciclicitatea procesului este accelerată sau încetinită în funcție de valoarea curentului de încărcare a condensatorului C12, respectiv de viteza de creștere a potențialului intrărilor PS și PJ între 1,8 V și 3,7 V. Prin modificarea valorii potențiometrului P2 se poate obține o deplasare a frecvenței de oscilație între 80 kHz și 200 kHz. Dacă peste potențialul static stabilit din P2 se suprapune, în baza tranzistorului T2, o tensiune alternativă corespunzătoare unui semnal vocal, atunci frecvența instantanee a oscilatorului se va modifica în funcție de amplitudinea tensiunii modulate. Gradul de modulație în frecvență se poate modifica, după dorință, din potențiometrul P1.

Sensibilitatea maximă a deviației de frecvență este de cel puțin 10 kHz/mV (cursorul potențiometrului P2 spre ieșirea operaționalului).

Într-o astfel de comunicație (ca, de altfel, și în cele radio ce utilizează modulația de frecvență sau de fază), pentru ca receptorul să constituie corect informația transmisă, este necesar ca acesta să „simtă” numai momentele de schimbare de polaritate a semnalului purtător și nu polaritățile propriu-zise. Astfel, la emisie se poate micșora la minimum durata de conducție a diodelor de IR, obținându-se un consum redus din sursa de alimentare. În acest scop și avînd în vedere că într-o perioadă a oscilației ieșirea circuitului integrat BE555 stă mai mult în starea logică „1” decît în „0” (coeficient de umplere mare), s-a ales pentru etajul de ieșire un tranzistor de tip pnp a cărui tensiune de comandă în conducție trebuie să fie negativă în raport cu potențialul emitorului său.

După cum se poate observa, majoritatea condensatoarelor electrolitice de decuplare a tensiunilor de alimentare sînt „dublate” de condensatoare plachetă de 0,1 μF. Fronțurile abrupte și valorile de vîrf relativ mari prin circuitul BE555 și etajul final impun această decuplare foarte riguroasă.

Durata cît circuitul temporizator rămîne în starea logică „0” este constantă și de valoare 0,4 μs, indiferent de mărimea frecvenței instantanee (factor de umplere variabil).

Trecînd acum la partea de recepție, autorul german propune o schemă ce este reprezentată în figura 3. În fapt, este vorba de un demodulator MF precedat de un etaj separator cu tranzistor cu efect de cîmp între detectorul de IR și demodulator. Ieșirea demodulatorului atacă un amplificator de audiofrecvență simplu cu un tranzistor bipolar necesar ascultării într-o cască cu impedanță mare (4 kΩ). Întreg ansamblul este destinat să funcționeze pe o frecvență centrală de recepție de 95 kHz.

Senzorii receptori de IR sînt diode cu siliciu de tip BPW34. Aceștia pot

fi priviți ca generatoare de curent (polarizare inversă în curent continuu) pe o sarcină oarecare. Dacă sarcina este de valoare mare, atunci la bornele ei se va obține o tensiune de recepție ridicată. Ținînd cont și de faptul că demodulatorul MF ar trebui atăcat în tensiune, dar are o impedanță de intrare relativ scăzută în raport cu necesitățile montajului (50 kΩ/4 pF la 455 kHz), se impune folosirea unui separator cu un tranzistor cu efect de cîmp tip BF245 în conexiune drenă comună.

Circuitul L1C1 acordat pe 95 kHz mărește raportul semnal/zgomot, eliminînd perturbațiile adiacente benzii de frecvențe recepționate.

Radiația purtătoare va avea o deviație de frecvență $\Delta f = \pm 6$ kHz pentru semnale modulate de bandă îngustă (30 Hz — 7 kHz) sau $\Delta f = \pm 25$ kHz pentru semnale modulate de bandă largă (30 Hz — 12 kHz). La recepție, rezolvarea compromisului bandă largă a circuitului acordat-impedanță mare de sarcină pentru diodele F1 și F2 se face prin utilizarea unui circuit rezonant derivație L1C1*, a cărui bobină trebuie să aibă o valoare mare a inductanței (în cazul prezentat, L1 = 50 mH), iar capacitatea din paralel să fie mică (C1* = 50 pF). Prin C1* s-a notat capacitatea echivalentă de acord în care este inclusă capacitatea de intrare în repetorul pe sursă. În acest fel, factorul de calitate al circuitului dat de relația: $Q = \omega R_2 C_1^*$ va putea lua valori între 2 și 9, rezultînd o rezistență R2 acceptabilă ca mărime, cuprinsă între 100 kΩ și 270 kΩ.

Așa cum este prezentată schema, ea se folosește la recepția unui semnal purtător a cărui deviație de frecvență este $\Delta f = \pm 6$ kHz. În cazul recepționării unui semnal cu $\Delta f = \pm 25$ kHz, atunci R2 = 100 kΩ, C10 = C11 = 560 pF, C12 = 0, iar L2 = 12 mH. Circuitul integrat SO41P este un demodulator MF, cu o funcționare asemănătoare cu cea a circuitului integrat românesc TAA661.

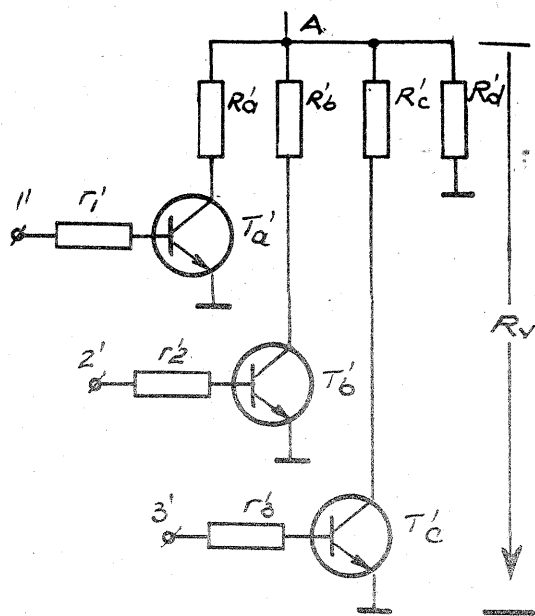
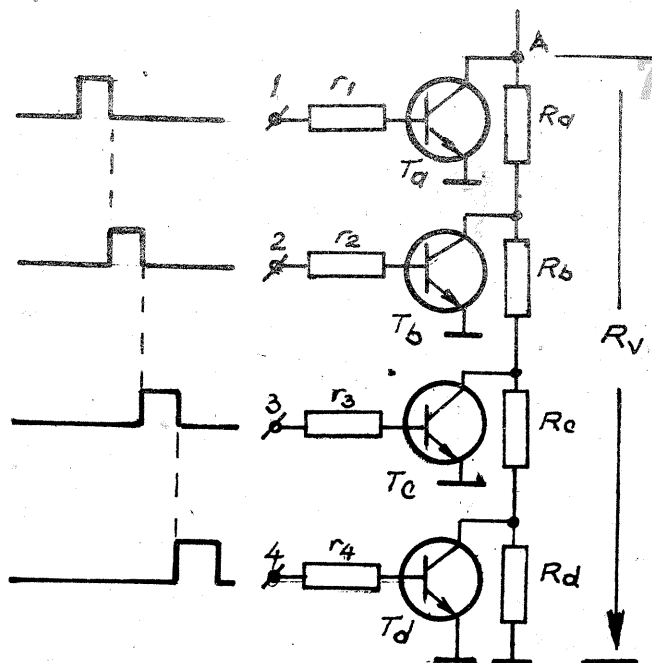
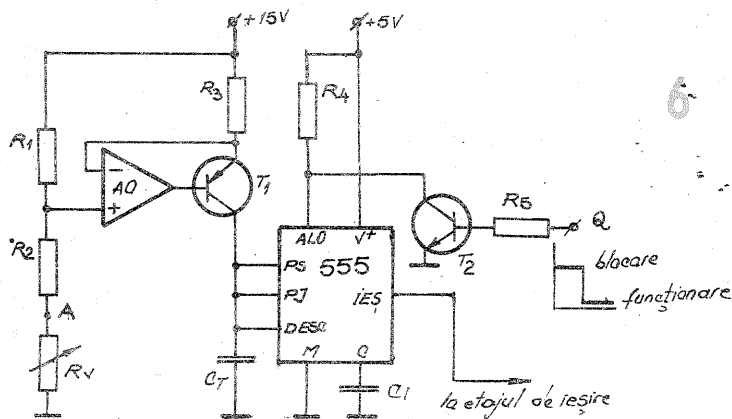
În afara aplicației pe care am comentat-o, s-au imaginat, cum era și firesc, sisteme de emisie stereofonică în IR. Se utilizează, bineînțeles, două emițătoare și două receptoare, cîte o pereche emițător-receptor pentru fiecare dintre cele două canale ale informației stereofonice. De asemenea, pentru fiecare pereche emițător-receptor se va alocă cîte o frecvență de lucru. De obicei se utilizează ca frecvențe purtătoare 95 kHz și 250 kHz cu o deviație $\Delta f = \pm 50$ kHz.

Necesitatea unei recepționări corecte, cu distorsiuni mici, impune folosirea unei puteri sporite la emisie și o sensibilitate bună la recepție. Se va evita supramodularea emițătoarelor, evitînd astfel influența reciprocă între canale.

Pe baza aceluiași principiu de funcționare am realizat receptorul de radiații IR din figura 4. Față de schema precedentă, tranzistorul separator este utilizat și ca amplificator în conexiune sursă comună, compensînd sensibilitatea mai redusă a demodulatorului MF de tip TAA661.

O altă aplicație a sistemelor de emisie-recepție în IR este transmiterea de date numerice. În tabelul din figura 5 sînt prezentate cîteva modalități de transmitere codificată a informației numerice.

Fără a intra în detalii de construcție se prezintă în continuare partea de oscilator-modulator în frecvență a unui emițător de impulsuri în IR.



El poate fi folosit pentru mai multe tipuri de codificare a purtătoarei (figura 6).

Montajul este, în esență, un convertor tensiune-frecvență și este compus din generatorul de curent constant A0 + T1 ce încarcă mai rapid sau mai lent condensatorul din circuitul de temporizare al astabilului de tip 555. Viteza de încărcare a condensatorului CT, respectiv frecvența oscilației, este invers proporțională cu potențialul punctului A față de masă.

Dacă în locul rezistorului Rv se utilizează un circuit ca în figura 7 sau 8, se va obține un sistem multicanal de tipul 1 din tabel. Codificarea frecvențelor se face prin intermediul intrărilor 1—4, respectiv 1'—3'. Introducerea comenzii de

blocare-funcționare (intrarea Q), alături de cele menționate anterior, conduce la un sistem multicanal de tipul 2. Eliminarea comenzilor de codare a frecvenței și întrebuințarea numai a celei din intrarea Q permit transmiterea în cod NRZ (Non Return to Zero) sau în cod bifazic.

BIBLIOGRAFIE:

SIEMENS — Technische Mitteilung aus dem Bereich Bauelemente „Tonübertragung und Fernsteuerungsverfahren mit Infrarot”
Colecția AUTOMATICĂ ELECTRONICĂ INFORMATICĂ MANAGEMENT, Seria Practică
Circuite integrate liniare, volumele 2 și 3
Colecția revistei „Tehnum”

TRIPLOARE DE TENSIUNE pentru TV COLOR

Ing. ȘERBAN NAICU

Tensiunea anodică (FIT) de alimentare a tubului cinescop color se obține, ca și la televizorul alb-negru, prin redresarea unor impulsuri obținute în secundarul transformatorului de linii.

Pentru a nu perturba convergența dinamică, valoarea FIT a cinescopului tricrom trebuie să rămână practic insensibilă la variațiile de curent ale fasciculelor. Dar în funcție de conținutul imaginilor transmise, curentul de fascicul poate varia de la 0 la 1,5 mA. Rezultă deci necesitatea ca sursa FIT, din TV color să aibă o impedanță de ieșire foarte mică, dacă este posibil sub 1 MΩ.

Dacă am accepta o impedanță de ieșire a sursei FIT de 5 MΩ (ca la TV a-n), va rezulta o variație a FIT de la 25 kV la 20 kV, ceea ce este inadmisibil pentru un cinescop cu mască perforată.

Valoarea ridicată a FIT necesară tuburilor cinescop color (25 kV), precum și impedanța foarte mică de ieșire a sursei FIT, două cerințe contradictorii, au impus apelarea la soluții constructive diferite de TV a-n.

Pentru obținerea FIT necesară tuburilor cinescop color se utilizează practic două soluții: cu transformator de linii și triplor de tensiune; cu transformator de linii cu diode redresoare distribuite (diode „split line output transformer”).

Prima soluție se folosește în receptoarele TV color TELECOLOR, TOPCOLOR, ELCROM, CROMATIC s.a., iar cea de-a doua în receptoarele mai moderne: GOLDSTAR, INDIANA (NETWORK).

Avantajele folosirii etajelor triplor de tensiune pentru obținerea FIT constau în următoarele:

- se evită descărcările tip Corona cu efect distructiv asupra materialului izolatoarelor;

- se limitează numărul spirelor bobinei FIT, micșorându-se astfel capacitatea bobinei FIT, precum și gabaritul transformatorului de linii.

Prezentăm în figura 1 forma unui impuls de întoarcere linii (FIT) la un TV color cu transformator de linii acordat pe fundamentală.

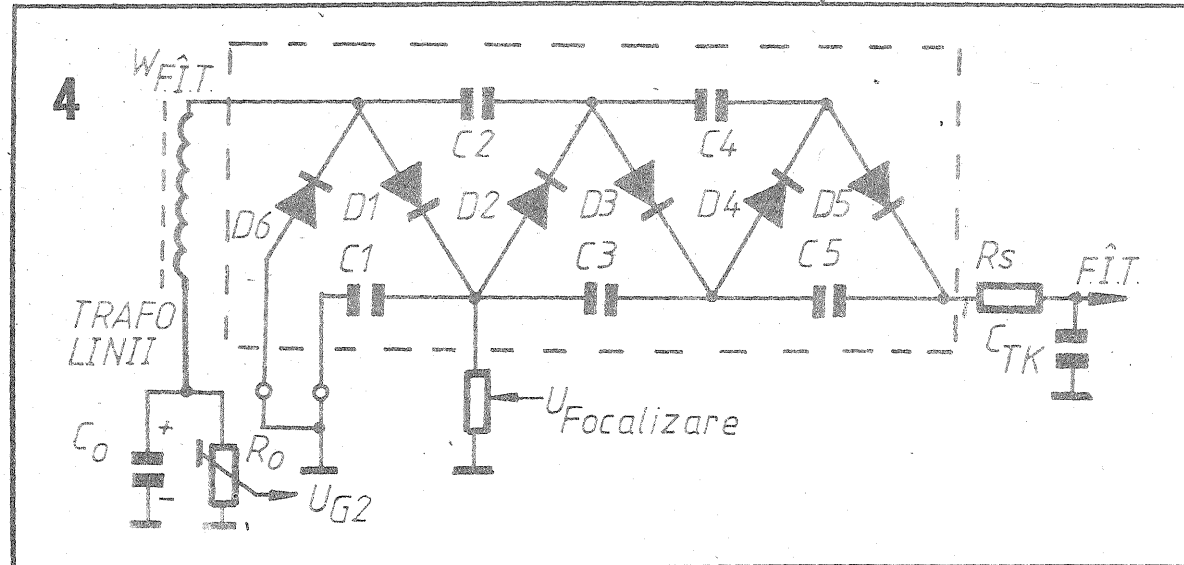
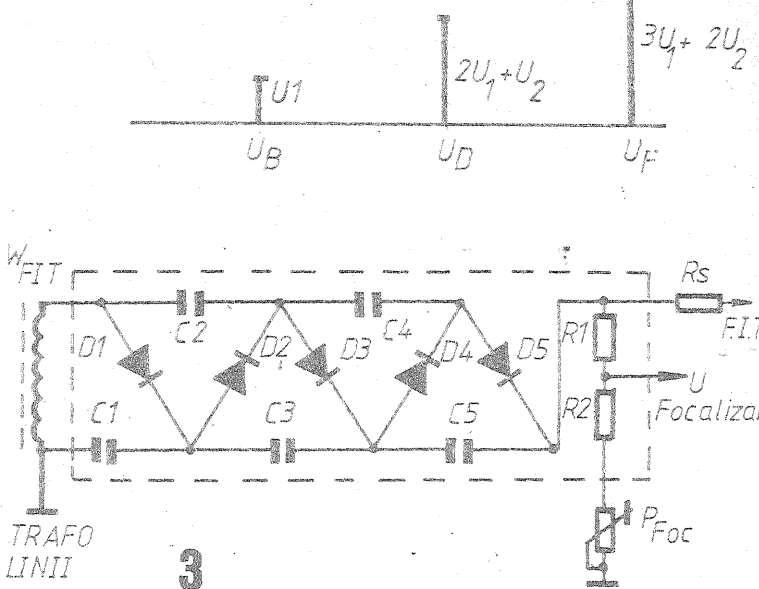
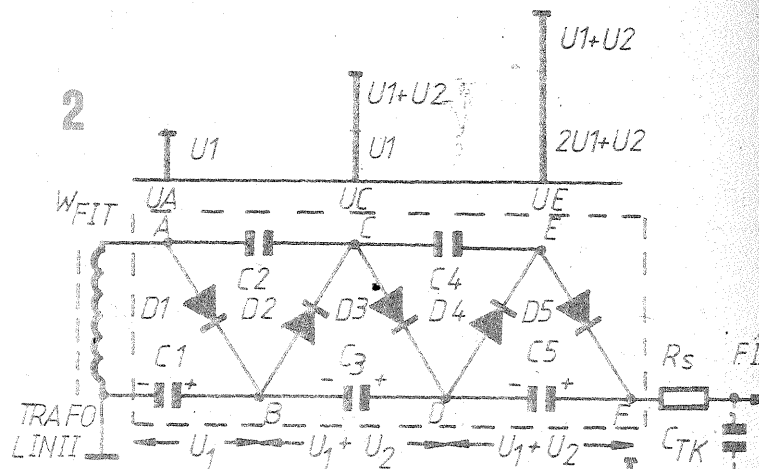
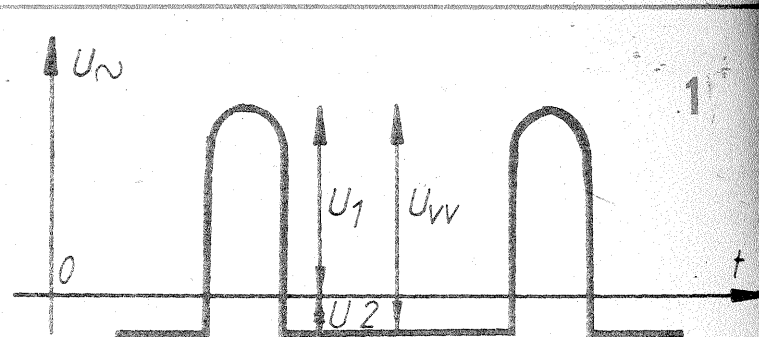
Se observă că impulsul conține o componentă pozitivă, de amplitudine U_1 , și o componentă negativă, de amplitudine U_2 . Valoarea vîrf la vîrf a impulsului U_{vv} reprezintă suma celor două tensiuni ($U_1 + U_2$). Impulsul de întoarcere linii este axat pe componenta sa medie.

Schema de principiu a unui triplor de tensiune este prezentată în figura 2.

Triplorul necesită, deci, cinci diode și cel puțin patru condensatoare (uzual cinci condensatoare). Condensatoarele din triplor au valoarea de 1 000 pF.

Funcționarea triplorului cu cinci diode este următoarea: la aplicarea primului impuls de întoarcere linii, pe durata cursei inverse a baleiajului horizontal, se aplică componenta pozitivă U_1 a impulsului, dioda D_1 se deschide, iar condensatorul C_1 se încarcă la tensiunea U_1 minus căderea de tensiune pe dioda D_1 (pe care o neglijăm). Pe durata cursei directe a baleiajului horizontal, la intrarea triplorului se aplică tensiunea negativă U_2 . Dioda D_1 se blochează, dioda D_2 se deschide și condensatorul C_1 se descarcă parțial pe condensatorul C_2 . La sosirea celui de-al doilea impuls de întoarcere linii, condensatorul C_1 se reîncarcă la tensiunea U_1 , prin dioda D_1 , iar condensatorul C_3 se încarcă, prin dioda D_3 , cu o parte din sarcina electrică înmagazinată în C_2 . Pe durata următoarei curse directe (tensiune negativă), diodele D_2 și D_4 se deschid și condensatoarele C_2 și C_4 se încarcă cu o parte din tensiunile de pe condensatoarele C_1 și C_3 . După mai multe cicluri asemănătoare, toate condensatoarele triplorului se vor încărca la următoarele tensiuni: C_1 la tensiunea U_1 ; C_2 , C_3 , C_4 și C_5 la tensiunea $U_1 + U_2$. S-au neglijat intenționat tensiunile care cad pe diode, fiind nesemnificative. Tensiunea la ieșirea triplorului, la curent de fascicul zero, va fi: $3U_1 + 2U_2$, deci, practic, triplă față de tensiunea aplicată la intrare.

Se observă că impulsul FIT este prezent în punctul A și apoi prin C_2



în punctul C, apoi prin C_4 în punctul E. Dioda redresoare propriu-zise sînt D_1 , D_3 și D_5 , iar diodele D_2 și D_4 au rolul egalizării tensiunilor continue în punctele B-C și, respectiv, D-E, la începutul cursei directe, în restul timpului fiind blocate.

Rezistența de sarcină R_s , de 47 kΩ, are rolul de a proteja diodele triplorului, suplimentar realizînd și o protecție a tranzistorului final de linii, în cazul descărcărilor în tubul cinescop. C_{TK} reprezintă capacitatea tubului cinescop și împreună cu rezistența de sarcină formează un circuit de filtrare.

Cascadele triplor de FIT se realizează avînd toate componentele înglobate într-o rășină poliestică termodură, cu excelente proprietăți izolante. În interiorul acestei mase compacte, toate lipiturile se realizează, folosind fluidor cu mult saciz,

sub formă sferică, după care se spală cu tricloretilenă înainte de înglobare în rășină.

Anterior anului 1975, diodele de FIT din triploare erau cu seleniu (fiecare conținând cam 160 de pastile); ulterior s-au folosit diode rapide cu siliciu, realizate în tehnica de izolare în sticlă. Este necesar ca toate diodele din triplor să aibă rezistențele inverse egale, pentru a nu mai fi necesare rezistențe de suntare.

Condensatoarele din triploare sînt realizate prin tehnologia depunerii (metalizării) în vid pe folii de stiroflex, fiind autoregenerante la străpungeri interioare.

Unele triploare de tensiune au la ieșirea de FIT o sarcină rezistivă (formată din rezistoarele R1 și R2), numită „bleeder”, ca în figura 3.

Acest consumator suplimentar are două roluri: la luminozitate redusă (curenți de fascicul mici) se îmbunătățește stabilizarea tensiunii de ieșire a triplorului; realizează o descărcare a capacității anodice a tubului cinescop, la stingerea televizorului, prevenind astfel apariția punctului luminos în centrul ecranului.

În punctul dintre cele două rezistoare se culege tensiunea de focalizare, reglabilă din potențiometrul P_{ROC}.

Pentru a putea obține rezistențe de ieșire cît mai mici ale triploarelor de tensiune (din motivele arătate anterior), în special la curenți mici de fascicul, s-a recurs la introducerea încă a unei diode în schema triplorului, ca în figura 4. Dioda nou introdusă, D6, realizează o redresare a alternanței negative a impulsului de întoarcere liniei, pe durata cursei directe, încărcînd condensatorul C₀ cu polaritatea din figură, cu o tensiune de cca 1 000 V, care în unele scheme este folosită pentru polarizarea grilei 2 a tubului cinescop. Dioda D6 va trebui să aibă o tensiune inversă de cca 1 kV.

Se observă că la triploarele cu șase diode, condensatoarele C1, C2, C3, C4 și C5 se încarcă, fiecare, cu o tensiune de valoare U₁ + U₂. Deci FIT va fi egală cu 3(U₁+U₂). Rezultă că pentru obținerea aceleiași FIT, amplitudinea impulsului de întoarcere liniei furnizat de bobina FIT a transformatorului de linii și aplicat la intrarea triplorului cu șase diode este mai mică decît cea necesară pentru un triplor cu cinci diode.

O altă variantă, mai modernă, apărută în anii '80, de triplor de tensiune este cel prin însumare sau „diodă split”, prezentată în figura 5. În acest caz, transformatorul de linii reprezintă o perfecționare față de cele prezentate anterior. Înfășurarea FIT are o construcție specială și înglobează trei (sau patru) diode redresoare cu siliciu și trei (sau patru) înfășurări (bobine) identice, legate în serie. Bobinele de FIT sînt realizate pe galeți separați.

Acest tip de multiplicator nu utilizează nici un condensator. Fiecare dintre cele trei bobine este realizată complet separat, iar distanța dintre ele este de cca 10 mm. Fiecare dintre bobine are cam 1 000 de spire, adică de aproximativ 8 ori mai multe decît înfășurarea primară.

Prin C_p s-au figurat capacitățile proprii ale bobinelor (dependente de numărul de spire și modul de bobinare), iar prin C_m capacitățile lor față de masă.

Cele trei diode sînt cu siliciu, realizate în tehnologia difuziei cu platină și înglobate în vitroceramică pasivată (sticlă elastică).

Întreg ansamblul, cuprinzînd cele trei bobine, cele trei diode și divizorul rezistiv, este înglobat în rășină, evitîndu-se astfel descărcările tip Corona. Efectul Corona are o acțiune distructivă în timp asupra oricărui tip de izolator, generînd transformări ireversibile în structura intimă a materialului izolant. Efectul Corona este favorizat de umiditatea aerului în zona de FIT și de mărirea FIT. Degradarea izolației conduce la defectarea bobinei de FIT

Cu un minimum de piese electronice și un contor de radiații de tip Geiger-Müller se poate construi un detector foarte simplu ca în figura alăturată.

- Materiale folosite**
- diode redresoare, D1, D2, de tip DR305, F207, F402 — 2 buc.
 - condensatoare cu hîrtie, C1-C3 de 0,1 μF/630 V — 3 buc.
 - condensator cu hîrtie, C4, de 0,02 μF/1 000 V — 1 buc.
 - rezistor R1 de 8,2 MΩ/0,5 W — 1 buc.
 - potențiometru semireglabil, R2, de 2,5 MΩ/0,12 W — 1 buc.
 - transformator ieșire Tr, cu raportul 1/100 — 1 buc.
 - cască telefonică, T, de 65 Ω — 1 buc.
 - contor Geiger-Müller (CTC-6) — 1 buc.

Mod de funcționare și reglaj
După executarea montajului și verificarea corectitudinii acestuia, conform figurii, se conectează la rețeaua de 220 V, avînd grijă ca potențiometrul semireglabil de 2,5 MΩ

DETECTOR DE RADIAȚII

Ing. Ț. RÂMBU

să fie la maxim.

Datorită cîmpului electric creat în contor, prin diferența de potențial aflată între electrozii „+” și „-” ai acestuia, radiația naturală de fond este sesizată de contor prin apariția unor pocnituri aleatoare în casca telefonică. Mărînd tensiunea la bornele contorului (lent), se va observa că la o anumită valoare descărcările în tub, respectiv pocniturile în cască, sînt continue, ceea ce arată că s-a ajuns la pragul de autodescărcare în contor, deci un regim periculos pentru contor. Se măsoară tensiunea „periculoasă”, după care se scade cu 50 V, caz în care detectorul devine un instrument funcțional. Pocniturile în cască se percep de la 20 m (într-o sală liniștită).

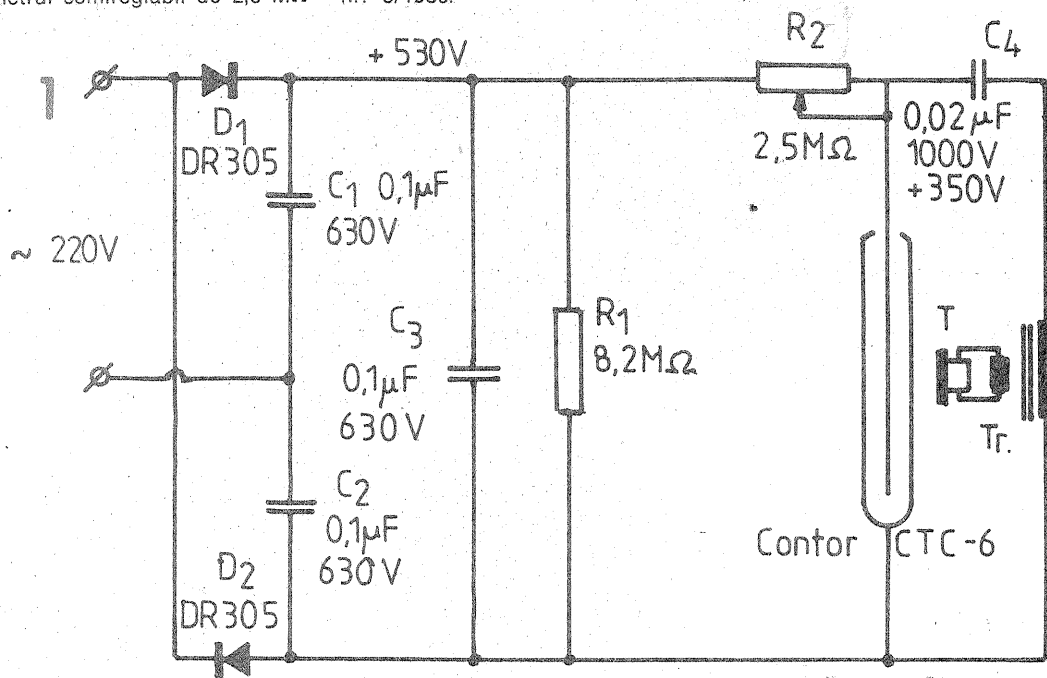
Pentru detalii de funcționare și teoretice, consultați revista „Tehnum” nr. 8/1986.

Acest aparat simplu poate fi montat într-o cutie de placaj sau material plastic, dimensiunile acesteia depinzînd în mod special de tipul contorului procurat.

Utilitatea acestui gen de detectoare poate fi aflată în școli, în cercurile de fizicieni amatori și nu numai, de amuzament în dotarea locuinței noastre.

În cazul în care constructorii amatori mai pretențioși doresc să afle și nivelul radiațiilor detectate de aparatul descris mai sus, este necesar ca montajul să fie completat cu un circuit de integrare și un microampermetru, iar apoi etalonat într-un laborator de specialitate.

Folosirea ca aparat portabil necesită, în plus, un convertizor alimentat din baterii și care să poată debita la ieșire aproximativ 500 V c.a.



prin străpungerea între straturi, între spire sau effluviu de străpungere de la contactul alternativ al bobinei de FIT spre cel mai apropiat conductor metallic. Impulsurile de FIT de pe fiecare bobină (impulsul de tensiune al cursei inverse a baleiajului orizontal), cu o valoare pozitivă de 8,33 kV, sînt redresate de diodele cores-

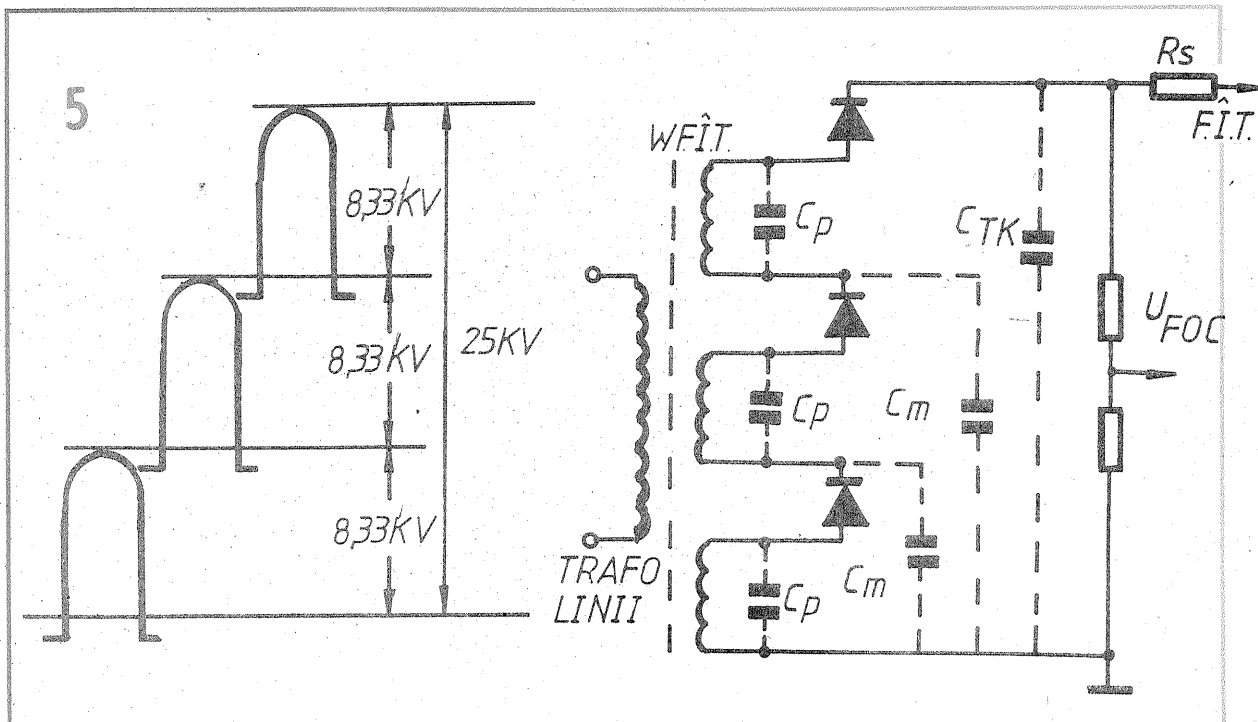
punzătoare, iar prin însumare dau o tensiune de 25 kV, necesară anodului de accelerare al tubului cinescop.

Prin C_{TK} s-a simbolizat capacitatea tubului cinescop.

După cum s-a prezentat anterior, introducerea unui „bleeder” pe ieșirea FIT (constînd dintr-o sarcină re-

zistivă) are atît rolul obținerii tensiunii de focalizare U_{ROC}, stabilizării FIT la curenți mici de fascicul, cît și de descărcarea a capacității tubului cinescop.

Rezistența de sarcină R_S are rolul de a proteja diodele redresoare și tranzistorul final de linia la descărcările din tubului cinescop.



AURELIAN LĂZĂROIU

În realizarea celor două montaje prezentate mai jos, propuse ca divertisment, este folosit unul dintre cele mai populare și răspândite circuite integrate din seria CMOS: 4011 (de exemplu MMC4011, V4011, CD4011, K561LA7 etc.). În afara de nota de divertisment, cele două montaje oferă tinărului electronist amator și posibilitatea adăugării de noi cunoștințe referitoare la funcționarea unor circuite.

Primul montaj, a cărui schemă este prezentată în figura 1, creează o iluzie optică, bazată pe inerția ochiului uman. Mai precis, face posibilă obținerea a patru culori, folosind numai un LED bicolor. LED-ul bicolor emite două culori — roșu și verde — în funcție de polarizare. Prin intermediul montajului propus, de la același LED se obțin încă două culori, respectiv portocaliu și galben. Aceste două culori suplimentare se obțin prin aprinderea cu intermitență și cu un raport stins/aprins reglabil. În funcție de acest raport, reglabil prin intermediul potențiometrului P1, se pot obține succesiv cele patru culori, în următoarea ordine: roșu, portocaliu, galben, verde. După cum se vede, cele două culori suplimentare provin din combinația culorilor principale — roșu și verde. Cititorul acestor rânduri, utilizator frecvent al codului culorilor, folosit pentru marcarea valorii rezistoarelor și condensatoarelor, își amintește probabil că între roșu și verde se află culorile portocaliu și galben. În experimentul propus, aceste două culori se obțin indirect, prin amestecul aditiv al culorilor roșu și verde.

Dacă ponderea luminației o deține culoarea roșie, este percepută culoarea portocalie, iar dacă ponderea o deține culoarea verde se percepe culoarea galbenă.

Montajul propriu-zis constă dintr-un generator de impulsuri dreptunghiulare cu factor de umplere reglabil prin intermediul potențiometrului P1. Frecvența impulsurilor este de aproximativ 100... 160 Hz, iar factorul de umplere poate fi reglat în limite foarte largi. Generatorul este realizat cu două porți ale circuitului integrat 4011, celelalte două fiind folosite într-o configurație adecvată alimentării LED-ului bicolor.

Cel de-al doilea montaj, prezentat în figura 2, este unul dintre cele mai simple instrumente electromuzicale. Funcționarea sa se bazează pe iluminarea variabilă a unui fotorezistor, motiv pentru care autorul acestui instrument l-a denumit „luminofon”. Utilizarea acestui montaj ca instrument muzical presupune... simț muzical din partea „instrumentistului”. Dacă ulterior se constată că acest simț lipsește, constructorul nu trebuie să fie dezamăgit, pentru că pot fi găsite și alte întrebări ale aparatului, așa cum se va arăta spre sfârșitul acestui articol.

Revenind la schema din figura 2, se constată că fotorezistența este conectată în circuitul unui generator de audiofrecvență, realizat printr-o configurație de astabil. Frecvența acestui generator variază în funcție de valoarea fotorezistenței, care la rândul ei depinde de cantitatea de lumină ce cade pe suprafața acesteia. Porțile 1.1 și 1.2 ale circuitului integrat sunt incluse în generatorul de audiofrecvență. Poarta 1.3 funcționează ca detector de prag, cu intrarea constituită din senzorul S1. Poarta 1.4 este folosită ca întrerupător comandat prin niveluri logice, dar și ca „etaj final”.

Impulsurile produse de generatorul de audiofrecvență sunt aplicate uneia dintre intrările porții 1.4. Afiș timp cât senzorii S1 și S2 nu sînt în contact, la intrarea porții 1.3 există nivel logic 1, iar impulsurile nu trec prin poarta 1.4; în cască/difuzor nu se aude nimic. Dacă se atîng cu degetul cei doi senzori, intrările porții 1.3 sînt conectate la minusul sursei de alimentare, prin rezistența pielii

degetului, care este mai mică decît valoarea rezistenței de 2 M Ω , cuplată spre plus. Pe intrări, nivelul logic este 0, iar pe ieșirea porții 1.3, apare nivel logic 1, care dă posibilitatea trecerii impulsurilor prin poarta 1.4. În cască/difuzor se va auzi un sunet a cărui înălțime este determinată de iluminarea fotorezistorului. Atingerea senzorilor, corelată cu modificarea cantității de lumină care cade pe fotorezistor; dă posibilitatea obținerii sunetelor cu diferite înălțimi și durate.

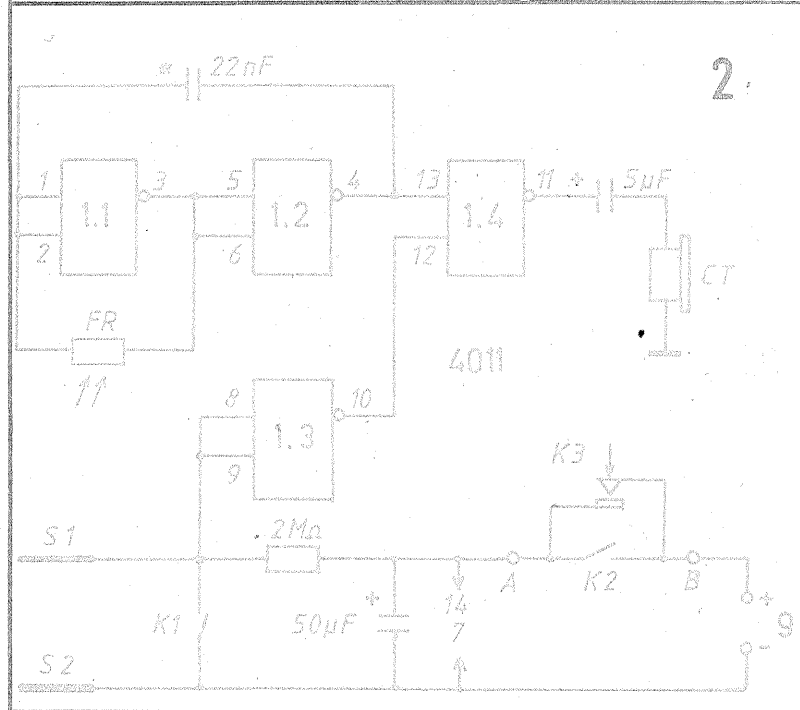
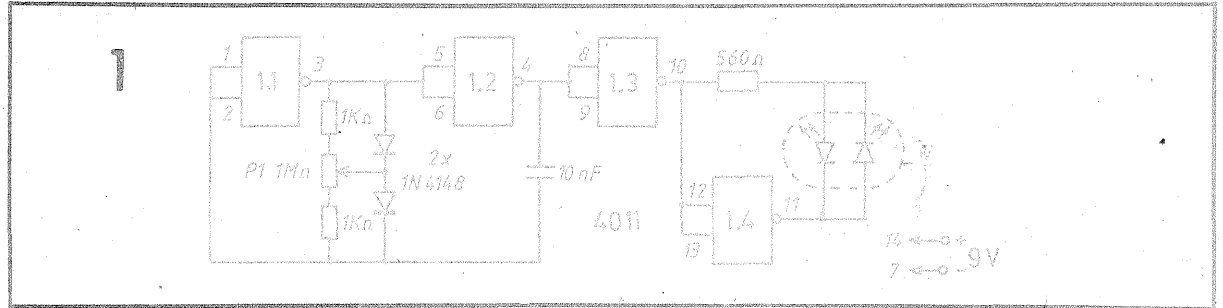
asociat (recuperate dintr-un radioreceptor portabil). Transformatorul poate fi realizat și de către amator, folosind un pachet de tole cu secțiunea de 0,5... 1 cm², pe care se bobinează un primar de 700 de spire cu conductor \varnothing 0,1 mm și un secundar de 150 de spire cu conductor \varnothing 0,25 mm.

Toi montajul se poate instala în caseta receptorului portabil de la care se recuperează difuzorul (eventual și transformatorul de ieșire). Se recomandă alimentarea de la o ba-

resante de sunete „cosmice”, „reverberate”, care amintesc de cele din filmul „Războiul stelelor”.

Pentru folosirea aparatului ca avertizor sonor declanșat de lumină, util în cele mai diferite scopuri, se asigură scurtcircuitarea senzorilor prin întrerupătorul K1 și alimentarea montajului prin K2.

Dat fiind consumul redus al montajului, el poate fi folosit ca tester pentru verificarea condensatoarelor electroitice, în special pentru determinarea polarității acestora (și în



În figura 3 este prezentat modul în care se realizează senzorii S1 și S2. Pe capacul unei cutii confecționate din material opac se fixează trei bare din conductor de cupru cu \varnothing 1,5... 2,0 mm, la care s-a îndepărtat izolația. Sub aceste bare, în capacul cutiei se decupează o fereastră dreptunghiulară cu dimensiunile de aproximativ 10x35 mm (pentru fotorezistor rotund) sau de 20x50 mm (pentru fotorezistor dreptunghiular). În dreptul ferestrei, în interiorul cutiei, la o distanță de 20... 30 mm, se fixează fotorezistorul.

Atingerea barelor cu unui, două sau trei degete, care în același timp obturează parțial și fereastra, modificând valoarea fotorezistenței și, implicit, înălțimea sunetelor generate, oferă posibilitatea obținerii unor melodii. „Deplasarea” domeniului de frecvență al instrumentului în sus sau în jos se face prin schimbarea iluminării inițiale a ferestrei, prin deplasarea aparatului într-un loc în care lumina ambiantă este mai puternică, respectiv mai slabă.

Așa cum am arătat anterior, poarta 1.4 are și rol de „etaj final”, capabil să livreze pe o sarcină adaptată un nivel sonor suficient. Experimentele au demonstrat că sarcina optimă constă dintr-o cască telefonică de 120 Ω . În lipsa acesteia, poate fi folosit un difuzor miniatură de 8 Ω cuplat prin intermediul transformatorului

de 9 V, cu atât mai mult cu cât curentul consumat este foarte mic: 1 mA, când senzorii nu sînt atînsi și 5 mA în timpul funcționării normale.

Așa cum am arătat anterior, acest montaj poate fi folosit și în alte scopuri, ca de exemplu pentru generarea unor efecte sonore, ca avertizor sonor declanșat de lumină, ca tester al stării și polarității condensatoarelor electroitice. În scopul folosirii ca generator de efecte sonore, se scurtcircuitază senzorii S1 și S2 prin intermediul întrerupătorului K1 și se acționează simultan asupra iluminării fotorezistorului și asupra întrerupătorului K3 (push fără reținere). În această aplicație, fotorezistorul poate fi înlocuit cu un potențiomtru de 50 k Ω . Apăsînd intermitent pe K3 și obținînd variabil fotorezistorul (sau manevrînd potențiomtrul cuplat în locul fotorezistorului) s-au obținut efecte sonore inte-

restantă, ca avertizor sonor declanșat de lumină, util în cele mai diferite scopuri, se asigură scurtcircuitarea senzorilor prin întrerupătorul K1 și alimentarea montajului prin K2.

În acest caz, fotorezistorul poate fi înlocuit cu un potențiomtru). Sînt ne-nunumerate cazurile cînd marcajele de polaritate dispar (este cazul tipic al condensatoarelor cu tantal sau al unora cu terminalele dispuse pe aceeași parte, folosite sau recuperate). În acest scop, se scurtcircuitază senzorii S1 și S2 prin K1; K2 este întrerupt, iar K3 nu este apăsat. Condensatorul ce urmează a fi verificat se cuplează la bornele A și B. Dacă plusul condensatorului este conectat la plusul sursei de alimentare, se va auzi un sunet scurt; cînd minusul condensatorului este conectat la plusul sursei, se va auzi un sunet continuu cu nivel scăzut.

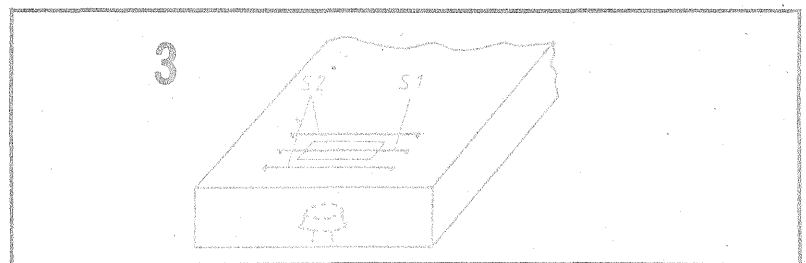
Pentru funcționarea normală, ca instrument electromuzical se asigură alimentarea prin K2 și se elimină scurtcircuitul senzorilor prin K1.

În final, o precizare nu lipsită de interes, ea fiind valabilă nu numai pentru montajul de față. În multe experiențe cu C.I. CMOS folosite în aplicații mai puțin convenționale, s-a constatat că rezultatele depind de exemplarul de C.I. utilizat și, în măsură și mai mare, de firma producătoare a acestuia. De aceea, în aceste cazuri, recomandările făcute de autori sînt foarte importante.

Montajul prezentat în figura 2 a fost experimentat de noi cu MMC4011 și V4011 (acestea din urmă au fost comercializate pe piața noastră ca piese de schimb pentru instrumentele muzicale electronice VERMONA). Rezultatele cele mai bune le-au dat circuitele V4011, mergînd pînă acolo încît cu unele exemplare s-au obținut, așa cum am arătat anterior, efecte interesante de sunete „reverberate”.

La circuitele integrate la care rezultatele nu sînt satisfăcătoare, se poate încerca să se conecteze o dioda 1N4148 în paralel cu rezistorul de 2 M Ω , cu catodul la plusul sursei de alimentare, sau modificarea valorii condensatorului marcat cu asterisc.

BIBLIOGRAFIE:
RADIO, nr. 2/1984 și 1/1990



SALVAREA PROGRAMELOR PENTRU CALCULATOARE SPECTRUM-COMPATIBILE

Ing. LAURENȚIU GIURGEA

O mare problemă în lucrul cu calculatorul, în cazul că acesta folosește ca unitate de bandă casetofonul, o constituie salvarea și încărcarea programelor. Aceasta deoarece, pe lângă faptul că se folosesc o serie de casetofoane cu capetele uzate, se mai utilizează și casete care au fost folosite la imprimat muzică.

După rezolvarea problemei suportului magnetic prin neutilizarea decât a casetelor noi, a calității capului prin schimbarea sa, un alt dușman al reușitei salvării de calitate a programelor îl constituie fluctuațiile de viteză. Acestea pot fi puse în evidență cu ajutorul unui osciloscop, dar și mai bine cu ajutorul unui program, care să și înregistreze duratele impulsurilor.

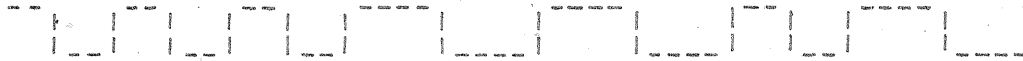
Un astfel de serviciu ne poate aduce programul descris în continuare.

1. Principiul de lucru

Pentru a înțelege cum lucrează programul nostru, trebuie mai întâi să revedem cum salvează calculatorul datele pe bandă.

Indiferent de tipul de date salvate, program octeți sau tablouri, calculatorul salvează în final tot o succesiune de octeți. Un octet, se știe, este format din 8 biți. Înregistrarea se face serial, respectiv se ia bit cu bit și se salvează pe bandă. Numai că, pentru ca bitul „0” să nu se confunde cu lipsa semnalului, cele două tipuri de biți se transmit sub aceeași formă, de semnal dreptunghiular, cu durate diferite însă și cu factor de umplere 1/2.

Calculatorul, prin subrutina lui din ROM, citește octet cu octet și generează la ieșirea de casetofon succesiunea de semnale, corespunzătoare biților respectivi. De pildă, dacă va avea de transmis octetul 10001101, calculatorul va genera următorul semnal:



La încărcare se petrece fenomenul invers, subrutina din ROM citește tot timpul intrarea de microfon, măsoară durata impulsurilor, o compară cu niște valori standard și, dacă acestea se află în anumite limite, le recunoaște. Urmează ca din nou, în funcție de durată, să decidă dacă este vorba de 1 sau 0. Fiecare grup de 8 biți calculatorul îl constituie într-un octet și-l introduce la adresa de memorie corespunzătoare. La primul bit de durată alta decât cea aflată în limitele admise, calculatorul oprește operația de încărcare și generează mesajul de eroare.

Erorile de lungime a impulsurilor, datorate fluctuațiilor de viteză, în cazul folosirii aceluiași aparat pentru ambele operații, încărcare și redare, se cumulează.

Programul nostru face ceva similar cu operația de încărcare, numai că, pe lângă încărcarea propriu-zisă, face și măsurarea duratelor impulsurilor și le stochează în memorie. Datele astfel obținute sînt ulterior utilizate fie pentru afișare grafică pe ecran sau hîrtie, fie pentru citire în valoare absolută.

Deoarece pe un ecran nu se pot afișa decât 256 de puncte o dată, nu se înregistrează decât 32 de octeți, respectiv 256 de biți. Dintre acești octeți, primul este întotdeauna 255 pentru blocul de date și 0 pentru header. Cum noi testăm blocul de date, rezultă că întotdeauna primul octet măsurat este 255 (11111111).

2. Realizarea programului

Dat fiind faptul că o parte a programului, respectiv partea de măsurare efectivă a duratei impulsurilor, trebuie să lucreze în timp real, el nu poate fi elaborat în limbajul BASIC. Cum prezentarea programului sursă, obținut folosind asamblorul ZEUS, ar ocupa prea mult spațiu, am preferat prezentarea programului obiect, sub forma unei succesiuni de octeți și care va fi încărcat cu ajutorul instrucțiunii POKE.

Realizarea programului se va face urmînd strict succesiunea de mai jos a operațiilor, ca o „tehnologie”:

- se introduce programul „spy”
- se salvează programul cu comanda GO TO 9999
- se introduce comanda NEW
- se introduce programul „Pregătire cod”
- se introduce comanda RUN
- se dă drumul casetofonului, pe înregistrare, imediat după locul unde s-a salvat programul „spy” și se face salvarea grupului de octeți — are grijă de aceasta linia 1000 din program.

3. Utilizarea programului

Se resetează calculatorul, se derulează banda și se încarcă programul cu comanda LOAD — evident cu cele două blocuri — ca orice joc.

Programul se autodeclanșează și vă cere să porniți banda pentru testarea primului bloc. Dacă blocul are header, programul îl neglijează și așteaptă blocul de date. Din blocul de date, acesta reține doar primii 32 de octeți, după care vă cere să opriți banda și desenează graficul. Acesta are desenată abscisa, în care se presupune că este numărul de ordine al bitului, iar în ordonată are durata acestuia. O dreaptă paralelă cu abscisa reprezintă valoarea în comparație cu care bitul este recunoscut ca 0 sau 1, după cum durata lui se află sub sau peste această linie.

La apăsarea tastei „V”, pe ecran se afișează valorile duratelor biților, cite 8 pe linie — cite un octet.

La apăsarea tastei „C”, dacă există imprimantă cuplată la calculator, se face o copie pe hîrtie a ecranului, grafic sau date.

La apăsarea tastei „G” se redesenează graficul.

Reintrarea în program, la mesaj de eroare, se face cu RUN.

Se face testarea casetei în mai multe locuri, deoarece viteza acesteia

poate varia în funcție de cantitatea de bandă aflată pe rulouri.

4. Interpretarea datelor

Unitatea ideală de bandă este aceea care va da punctele grupate pe două linii paralele cu abscisa; de asemenea, valorile corespunzătoare pentru 0 și 1, indiferent de porțiunea testată a benzii sau alte condiții diferite de lucru — tensiune de alimentare, frecvență a rețelei etc. Este permis ca fiecare din cele două linii să fie, la rîndul ei, formată din alte două linii paralele, dar la distanță de o unitate în ceea ce privește valoarea duratei. Aceasta deoarece măsurarea duratei se face într-un registru intern al microprocesorului Z80 și aceasta ia valori discrete, între 0 și 255.

Dacă punctele se află cu o anumită împrăștiere, cu cît se vor găsi puncte mai apropiate de linia de luare a deciziei — linia dintre puncte — cu atît crește pericolul de confundare a valorilor biților. De asemenea, dacă în funcție de poziția de pe bandă, linia de luare a deciziei se apropie de o zonă de puncte sau alta, înseamnă că viteza benzii s-a modificat periculos de mult.

În funcție de rezultat, urmează să se ia măsurile de depanare a unității de bandă.

În exemplele alăturate se dau două tipuri de magnetofon și un casetofon. Cel mai bun este, se vede, magnetofonul TESLA B4, pe viteza de 9,53 cm/s. Explicația rezidă în marea stabilitate a vitezei acestui magnetofon și în calitatea capului. În ceea ce privește casetofonul, deranjează nu atît împrăștierea mare a punctelor, cît cele câteva puncte care se apropie foarte tare de linia de luare a deciziei. Și nu uitați că avem doar primii 32 de octeți pe grafic!

Ca o recomandare generală: preferați pe cît posibil magnetofoanele în locul casetofonelor. Ele nu dau practic niciodată mesaj de eroare, iar cînd o fac, singurul remediu necesar îl constituie ștergerea capului cu un tampon cu alcool.

```

1 REM Pregatire cod
10 CLEAR 32767
20 FOR P=33065 TO 33265: READ X: POKE P,X: NEXT P
100 DATA 221,33,0,128,17,31,0,55,62,255,33,33,128,34,31,128,20,8,21,243,62,15,2
11,254,33,63,5,229,219,254,31,230,32,246,2,79,191,192,205,212,129,48,250,33,21,4
,16,254,43,124,181,32,249,205,208,129,48,235,6,156,205,208,129,48,228,62,198,184
,48,224,36,32,241
110 DATA 6,201,205,212,129,48,213,120,254,212,48,244,205,212,129,208,121,238,3,
79,38,0,6,176,24,31,8,32,7,48,15,221,117,0,24,15,203,17,173,192,121,31,79,19,24,
7,221,126,0,173,192,221,35,27,8,6,178,46,1,205,208
120 DATA 129,208,62,203,184,203,21,229,42,31,128,112,35,34,31,128,225,6,176,210
,173,129,124,173,103,122,179,32,192,124,254,1,201,205,212,129,208,62,22,61,32,25
3,167,4,200,62,127,219,254,31,208,169,230,32,40,243,121,47,79,230,7,246,8,211,25
4,55,201
1000 SAVE "cod"CODE 33065,201
    
```

```

1 REM spy G.L. tel. 772641
10 GO TO 100
20 POKE 23756,0: BORDER 0: PAPER 0: INK 7: CLEAR 32767: PRINT FLASH 1:AT 12,1
0:"ASTEAPTA !": INK 0: LOAD "CODE : INK 7: FOR p=1 TO 256: POKE (32800+p),203:
NEXT p
30 CLS : PRINT FLASH 1:AT 12,8:"PORNESTE BANDA !": RANDOMIZE USR 33065: IF PE
EK 32801-203<0 THEN GO TO 30
100 CLS : GO SUB 2000: PRINT #0:"OPRESTE BANDA SI ASTEAPTA !": DIM a(256): LET
a=1
120 LET b=1: FOR p=1 TO 256: LET a(p)=PEEK (32800+p)-178: IF b<a(p) THEN LET b
=a(p)
130 NEXT p: LET a=INT (175/b): GO SUB 1000
140 PRINT #0: INVERSE 1: FLASH 1:"G": FLASH 0:"RAFIC ": FLASH 1:"V": FLASH 0:"A
LORI ": FLASH 1:"R": FLASH 0:"ELUARE ": FLASH 1:"C": FLASH 0:"OPY"
145 GO SUB 2000: PAUSE 0
150 IF INKEY#="g" OR INKEY#="G" THEN GO SUB 1000: GO TO 140
160 IF INKEY#="v" OR INKEY#="V" THEN CLS : FOR p=1 TO 256: PRINT TAB 4*(p-1);a
(p):: NEXT p: GO TO 140
170 IF INKEY#="r" OR INKEY#="R" THEN GO TO 30
180 IF INKEY#="c" OR INKEY#="C" THEN GO SUB 2000: COPY
190 GO TO 145
1000 CLS : DRAW 255,0: FOR p=0 TO 255: PLOT p,a*a(p+1): PLOT p,a*25: NEXT p: RET
URN
2000 BEEP .2,35: BEEP .2,25: BEEP .2,15: RETURN
9999 SAVE "spy" LINE 20

```

ZK-147

GRAFIC VALORI RELUARE COPY

CASETOFON

GRAFIC VALORI RELUARE COPY

TESLA B-4

GRAFIC VALORI RELUARE COPY

AMPLIFICATOR DE PUTERE

Multi cititori dețin tranzistoare de putere de tipul KT808 și GT806 și, în general, nu știu cum să le folosească.

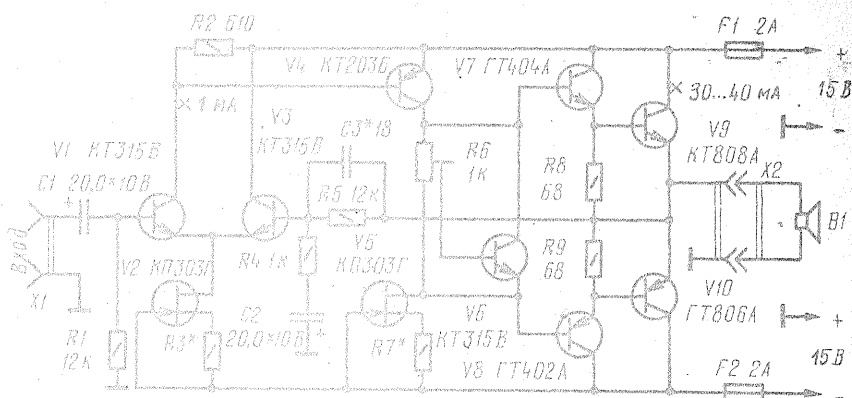
O aplicație imediată este construirea unui amplificator de putere ca în schema alăturată.

Acesta asigură o bandă de trecere cuprinsă între 20 Hz și 20 kHz, debitând o putere de 20 W pe o sarcină de 4 Ω.

Se observă că în schemă sunt folosite două tranzistoare cu efect de cîmp, acestea fiind de tipul BF245.

Alimentarea impune o sursă dublă de ±15 V.

RADIO, 12/1979



CONVERTOR UUS

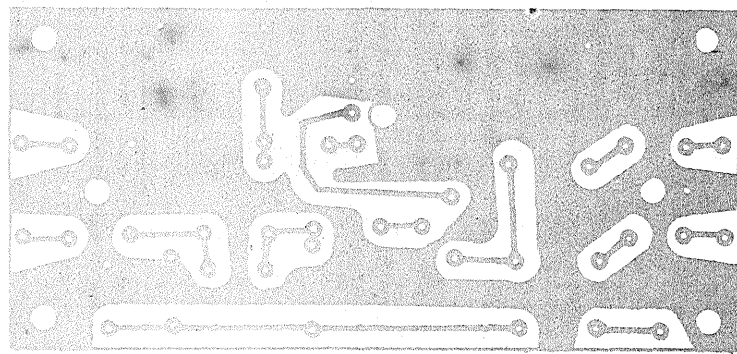
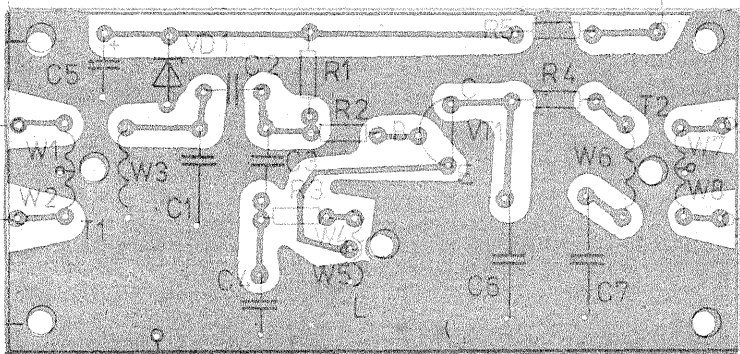
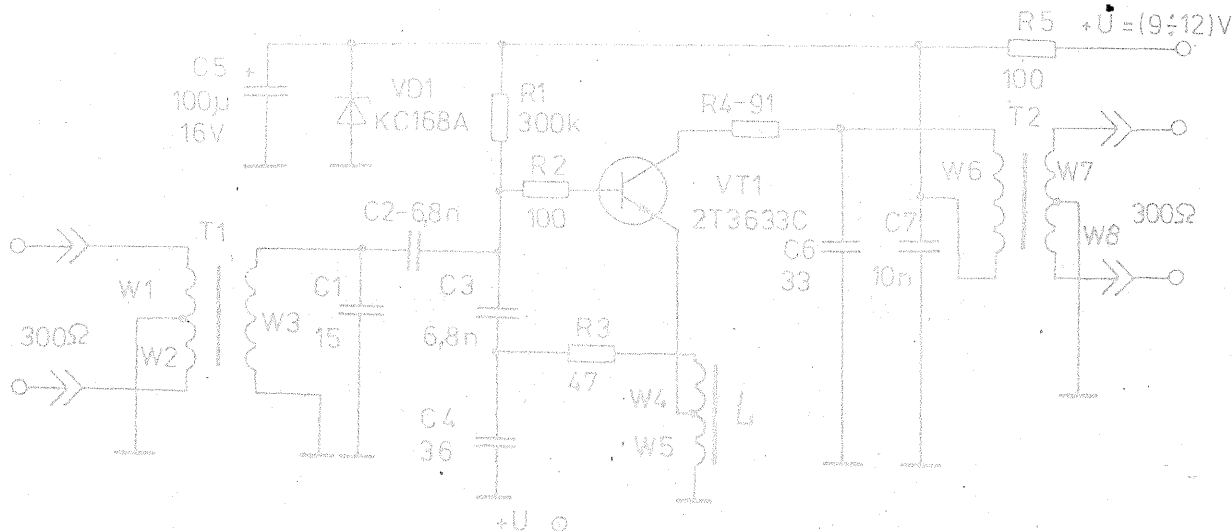
Montajul permite recepționarea benzii de frecvențe 88-103 MHz cu ajutorul receptoarelor prevăzute cu gama 66-73 MHz, adică cele mai

răspindite în țara noastră. Unicul tranzistor îndeplinește funcția de convertor autooscilator.

Bobinele sînt construite pe toruri de ferită. În măsurările W1 și W2 au 3 spire din CuEm 0,3; W3 are 7 spire din CuEm 0,5; W4 are 8 spire CuEm 0,3; W5 are 4 spire; W6 are 9 spire CuEm 0,8, iar W7 și W8 au 4 spire CuEm 0,5.

Realizarea practică se face pe un cablaj imprimat al cărui desen este prezentat alăturat.

RADIO, TELEVIZIA, ELEKTRONIKA, 1/1992



ECHIVALENTE

AF124	SFT357	SPT358	AF150	SFT319	SFT354	ASY48	AC182	SFT323
AF125	SFT357		AF156	SFT319	SFT354	ASY73	2N1304	
AF126	SFT316		AF164	SFT358		ASY76	2N527	
AF127	SFT316	SFT354	AF165	SFT316	SFT357	ASY77	SFT288	2N525
AF130	SFT316	SFT358	AF166	SFT316		ASY80	2N524	
AF132	SFT316	SFT354	AF168	SFT354		ASY81	SFT243	
AF133	SFT319	SFT354	AF170	SFT320		ASZ15	BDY53 (I)	
AF134	SFT354	SFT358	AF171	SFT319BE		ASZ16	BDY53 (I)	
AF135	SFT354	SFT357	AF172	SFT319VE		ASZ17	BDY53 (I)	
AF136	SFT357	SFT358	AF182	SFT358		ASZ18	BDY53 (I)	
AF137	SFT316		AF185	SFT358		BC112	2N2926	
AF138	SFT316		AL102	BDY53		BC113	2N3391	BC208
AF142	SFT358		ASY14/3	2N525		BC114	BC209	PBC209
AF143	SFT354	SFT357	ASY26	2N1303	2N1305	BC115	BC207	PBC207
AF144	SFT354	SFT358	ASY27	2N1305	2N1307	BC116	BC215 (BC313)	
AF146	SFT316	SFT354	ASY28	2N1302	2N1304	BC118	BC207	PBC207
AF147	SFT319	SFT354	ASY29	2N1304	2N1306			
AF148	SFT316	SFT354	ASY30	2N1305				

COMPLET DE RECEPȚIE TV

Datorită faptului că extinderea unor programe TV se face în prezent și va fi menținută și în viitor în banda UHF (canalele 21-60), voi prezenta în rândurile ce urmează un complet de recepție TV de mare performanță, care este rodul câtorva ani de cercetări în domeniu și care a fost verificat în practică în locuri cu recepție dificilă, în diferite anotimpuri și stări de propagare deosebit de grele.

Până a ajunge la concluziile ce le voi prezenta mai jos, menționez că am construit 16 tipuri de antene diferite pe care le-am testat, dar nici una nu a întrunit calitățile acesteia.

Această antenă pornește de la o idee pe care firma Wissi-Khaterinne a lansat-o cu ani în urmă și din care au derivat ulterior mai multe tipuri de antene, unele dintre ele cu performanțe ridicate, așa cum ar fi antena „Olimpia 170”, cu elemente compensate etc. Ea este rezultatul

stăruie reflectorului antenei și sunt prinse direct pe suportul de susținere cu șuruburi, adică au contact galvanic.

Unghiul de 100° al reflectorului conferă acestuia poziția optimă asupra rolului pe care-l joacă, de protecție din spate împotriva altor semnale, stabilește impedența optimă și, în același timp, concentrează pe vibrator energia de radiofrecvență.

Singurul element al antenei care mai are, în afară de reflector, contact galvanic cu traversa de susținere este elementul notat E10, adică element de compensare. El se situează între primul director și vibrator și joacă rolul de compensare fizică și electrică a elementelor aflate în fața lui.

Compensarea aceasta este variabilă și se extinde tot în mod variabil de la canal la canal și este poziționat și dimensionat de așa manieră încât elementele D1-D23 să formeze un fel de ghid de undă care să rezoneze în tot domeniul UHF.

Celelalte elemente, și anume vibratorul (V) și directorii (D1-D23), sînt izolate față de elementul de susținere prin niște mici plăcuțe din fibrotextolit sau teflon și dimensionate astfel încât vibratorul care este dimensionat pentru canalele cele mai joase din domeniul UHF împreună cu elementele directoroare D1-D23, dimensionate în porțiunea cea mai de sus a domeniului UHF,

să formeze un tot unitar, dar nu de compromis, ci o antenă superioară altor tipuri.

Asupra dimensiunilor fiecărui sub-ansamblu nu mai stăruie, întrucît sînt puse în evidență foarte clar în desenele de pe schema antenei.

Accentuez numai că antena trebuie construită conform schemei propuse; nu se admit derogări de la dimensiuni mai mari de 2 mm și trebuie plasată într-un loc degajat, cu o elevație a vîrfului ei față de orizontul de aproximativ 10-15°. Antena asigură singură (fără amplificator) un câștig, la borne, de 19 dB.

Amplificatorul de antenă întrucît antena este de bandă largă, am studiat diferite variante, inclusiv cu amplificatoare comandate cu diode varicap, dar pentru că sînt costisitoare și greu de manevrat, am adoptat soluția amplificatorului de bandă largă, dar studind

mai multe variante de optimizare.

Am ajuns la concluzia că tetroda-MOS întrunește cele mai bune calități în funcționare: zgomot mic, amplificare suficient de mare și stabilitate termică ridicată.

Mai este un amănunt care nu trebuie deloc neglijat. Majoritatea firmelor constructoare de antene, din diferite motive, construiesc aceste antene și amplificatoarele de antenă cu impedențe diferite, ceea ce pentru utilizator pune probleme deosebite, care de multe ori duc practic la eșec.

Să mă explic: și în cazul de față impedența la borne a antenei este de 300 Ω; dacă utilizăm soluția adaptării-simetrizării cablului cu buclă, deci cu transformator cu raport 4/1, pierderile de energie erau foarte mari. Și atunci am adoptat soluția intrării simetrice în amplificatorul de antenă.

În acest fel, cred eu, am rezolvat foarte corect două lucruri: adaptarea optimă a vibratorului la cablu și a cablului la amplificator cu pierderi

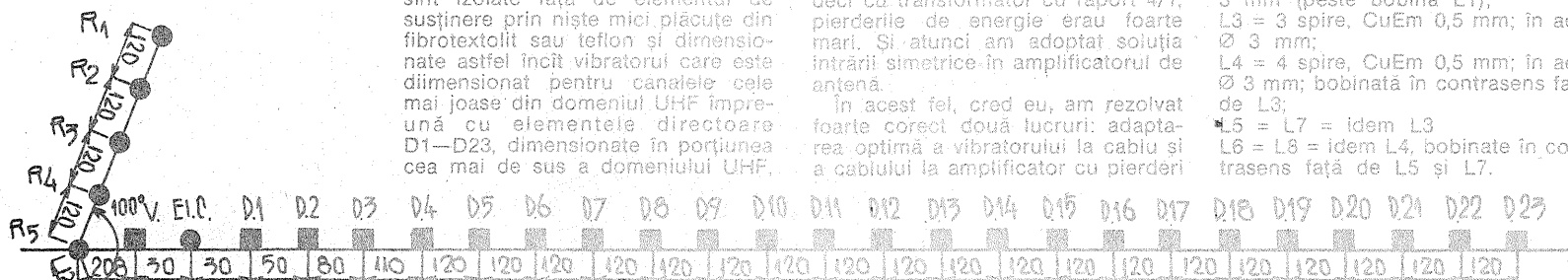
IULIAN POPOVICI YO7DJ

infime de energie, deoarece lungimea cablului dintre vibrator și amplificator este de câțiva centimetri. Leșirea din amplificator se face cu cablu coaxial de 75 Ω.

Amplificatorul asigură o amplificare cu variație de la canalul 21 la 60, deosebit de puternică dincolo de canalul 40, apropiată de valoarea de 35 dB.

Datele bobinelor

- L1 = 2x3 spire, CuEm 0,5 mm; în aer; Ø 3 mm;
- L2 = 3 spire CuEm 0,5 mm; în aer; Ø 3 mm (peste bobina L1);
- L3 = 3 spire, CuEm 0,5 mm; în aer; Ø 3 mm;
- L4 = 4 spire, CuEm 0,5 mm; în aer; Ø 3 mm; bobinată în contrasens față de L3;
- L5 = L7 = idem L3
- L6 = L8 = idem L4, bobinate în contrasens față de L5 și L7.



unor calcule și teorii asupra antenelor de bandă largă și succesul unui experiment practic.

Completul de recepție prezentat se compune din antena propriu-zisă și amplificatorul de antenă.

Antena propriu-zisă, așa cum arătam mai sus, este o antenă de bandă largă, foarte performantă, care poate recepționa orice canal TV între 21 și 60. Constructiv, ea se compune dintr-o traversă din duralumin sau fier, pe care sînt prinse cu șuruburi elementele.

Elementele marcate R1-R9 con-

DETALII „V”



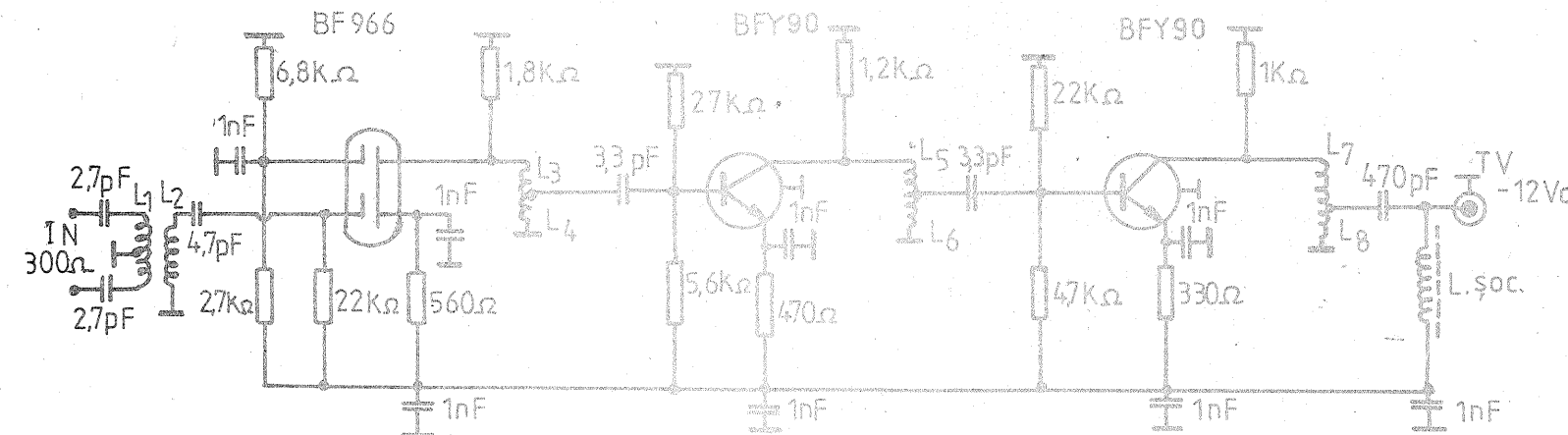
DETALII R1-R9



DETALII „E10”



DETALII D1-D23




<p>Redactor-șef: ing. I. MIHĂESCU Secretar general de redacție: fiz. ALEX. MĂRCULESCU Redactori: K. FILIP, ing. M. CODĂRNAI Secretariat: M. PAUN Grafică: I. IVAȘCU</p>	<p>Administrația: Editura „Presă Națională” S.A. Tiparul executat la Imprimeria „Coresi” București INDEX 44212</p>	<p>CITITORII DIN STRĂINĂTATE SE POT ABONA PRIN „ROMPRESFILATELIA” — SECTORUL EXPORT-IMPORT PRESA P.O.BOX 12-201, TELEX 10378, PRSFIR BUCUREȘTI, CALEA GRIVITEI NR. 64-66.</p>
---	---	---

CONEX ELECTRONIC S.R.L.

Str. Maica Domnului nr. 48, sector 2, telefon 87 42 05, București



PACKARD BELL

ice  felix
Computer S.A.

286



Vă oferă:

- Noile produse PC286, PC386, realizate de I.C.E. FELIX COMPUTER S.A. în colaborare cu firma PACKARD BELL
- Imprimante
- Plottere
- Calculatoare HC91, extensii floppy-disk, joy-stick-uri
- Monitoare monocrom
- Calculatoare de birou cu bandă și afișaj
- Telefoane speciale
- Case electronice de marcat
- Reclame luminoase

- O variată gamă de componente electronice
 - circuite integrate liniare (amplificatoare operaționale, amplificatoare de audiofrecvență, surse de tensiune)
 - circuite integrate CMOS, TTL, LS (clasice și speciale)
 - tranzistoare cu germaniu și cu siliciu
 - tiristoare
 - diode, punți redresoare
 - dispozitive optoelectronice
 - elemente de conectare și comutare
 - cristale de cuarț
 - filtre cu cuarț
 - componente pasive
- Firma onorează și comenzi prin poștă.

La vânzări en gros se fac reduceri de prețuri.
La toată gama de aparate comercializate, firma CONEX ELECTRONIC S.R.L. asigură service în perioada de garanție și postgaranție, consultații tehnice și documentație de specialitate.

965.
482v